

Université de Provence

UFR Civilisations et Humanités

Département d'Histoire de l'Art et d'Archéologie

Laboratoire Méditerranéen de Préhistoire Europe-Afrique (LAMPEA)

UMR 6636

**LES DOLMENS A SECTION TRAPEZOÏDALE DES CAUSSES
ET DES GORGES DE L'HERAULT :**

**APPROCHE COMPARATIVE DES ARCHITECTURES ET DES
MOBILIERS**

Second volume : Illustrations



Mémoire de Master 2

Mémoire présenté par

Florent CHATEAUNEUF

Sous la direction de M. Maxence Bailly

Suivi scientifique assuré par M. Paul Ambert

2009 / 2010

Université de Provence

UFR Civilisations et Humanités

Département d'Histoire de l'Art et d'Archéologie

Laboratoire Méditerranéen de Préhistoire Europe-Afrique (LAMPEA)

UMR 6636

**LES DOLMENS A SECTION TRAPEZOÏDALE DES CAUSSES
ET DES GORGES DE L'HERAULT :
APPROCHE COMPARATIVE DES ARCHITECTURES ET DES
MOBILIERS**

Second volume : Illustrations

Mémoire de Master 2

Mémoire présenté par

Florent CHATEAUNEUF

Sous la direction de M. Maxence Bailly

Suivi scientifique assuré par M. Paul Ambert

2009 / 2010

FIGURES

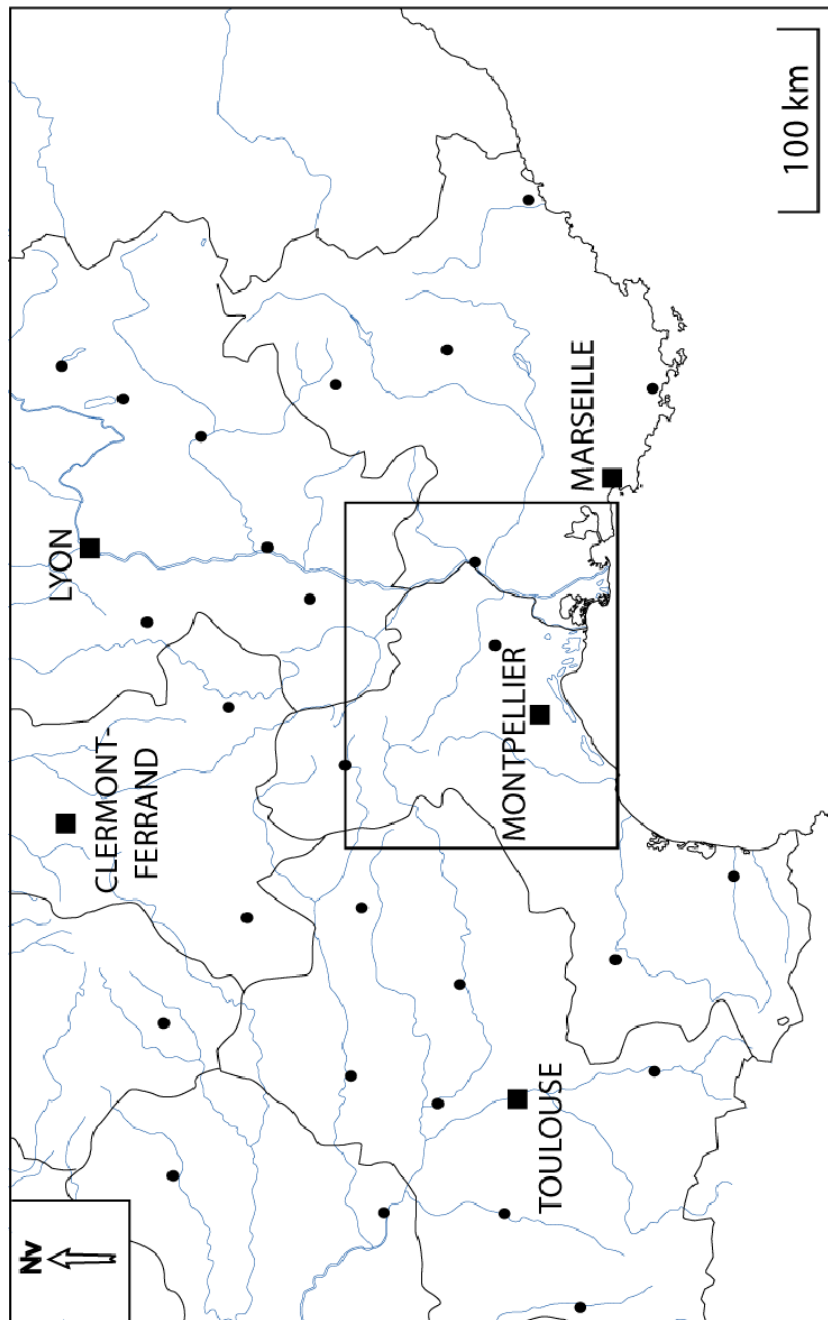


Fig. 1 – Carte générale du Sud de la France : l’encadré noir situe le cadre géographique élargi de cette étude, le Languedoc et la Provence occidentale.

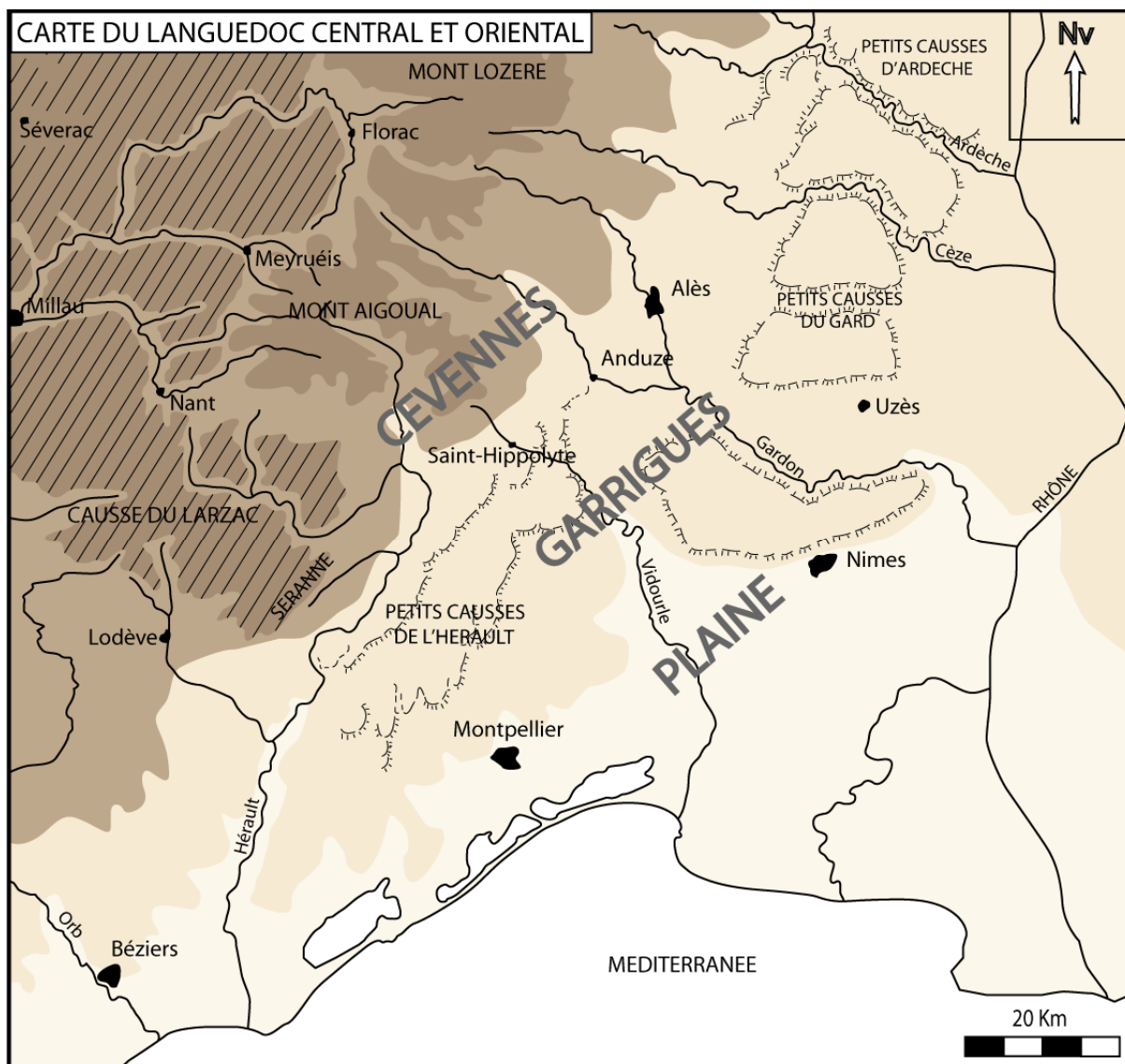


Fig. 2 – Carte générale du Languedoc central et oriental montrant les principaux reliefs de la région et leur étagement.

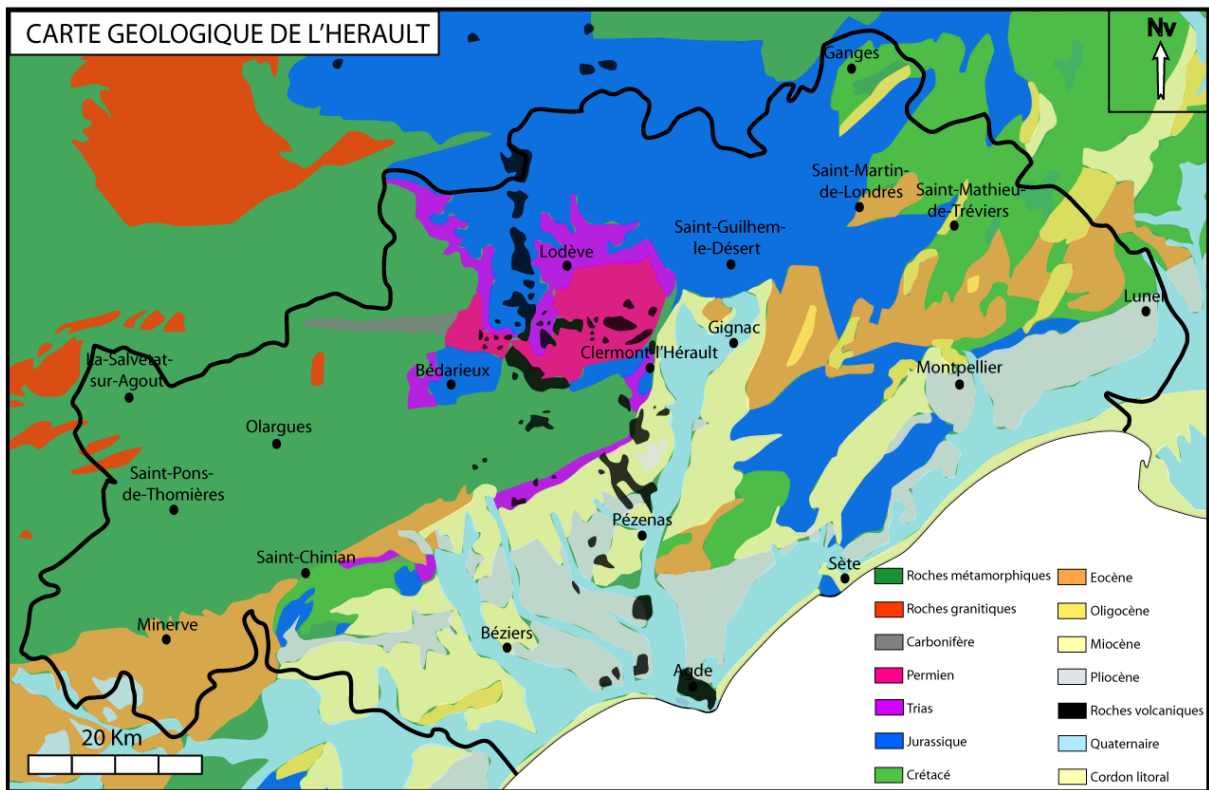


Fig. 3 – Carte géologique du département de l’Hérault et des territoires limitrophes. Les dolmens étudiés se situent principalement dans les zones calcaires du Jurassique (d’après B.R.G.M.).

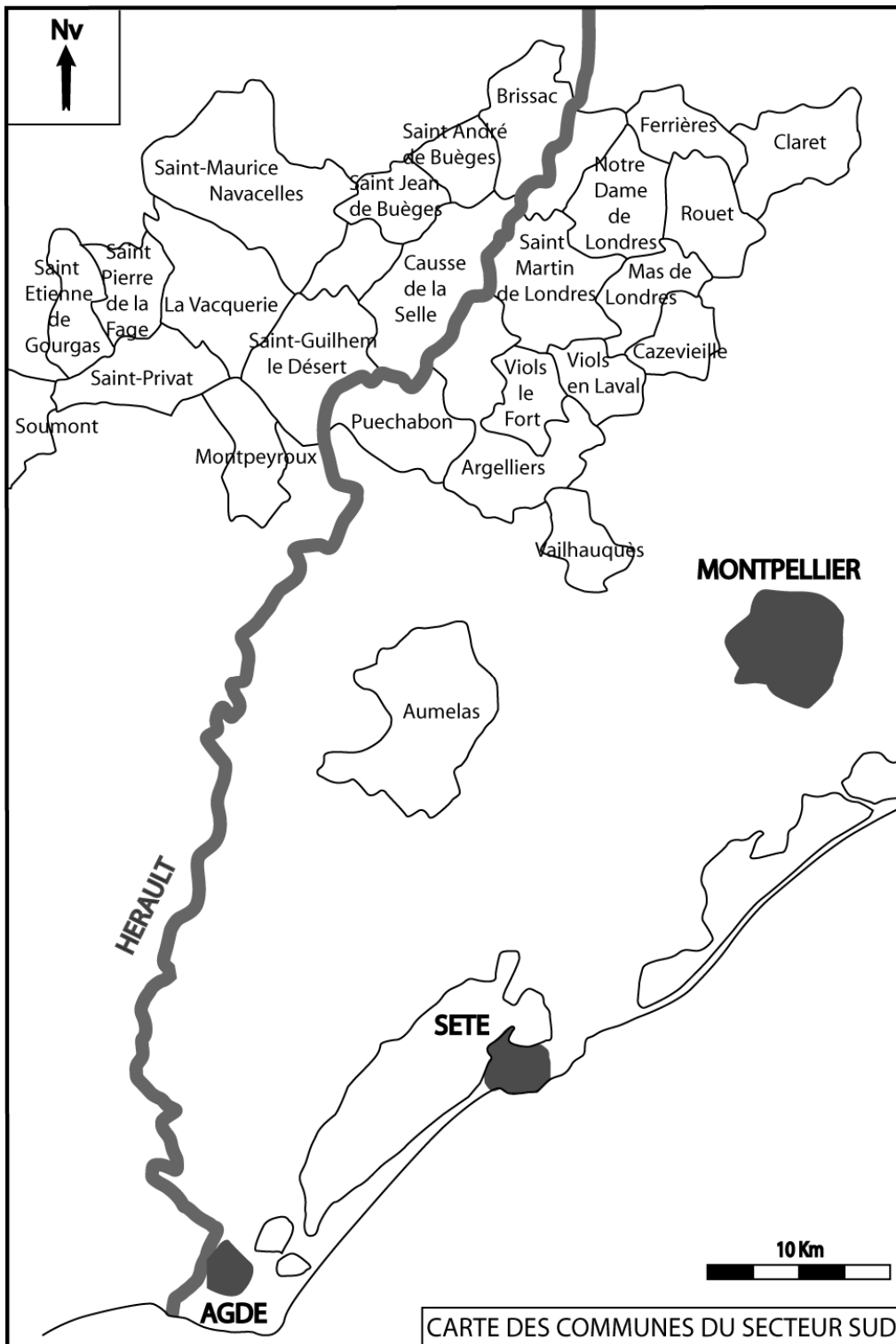


Fig. 4 – Carte de localisation des communes mentionnées dans cette étude des dolmens de l’Est héraultais et principales agglomérations voisines (secteur Sud).

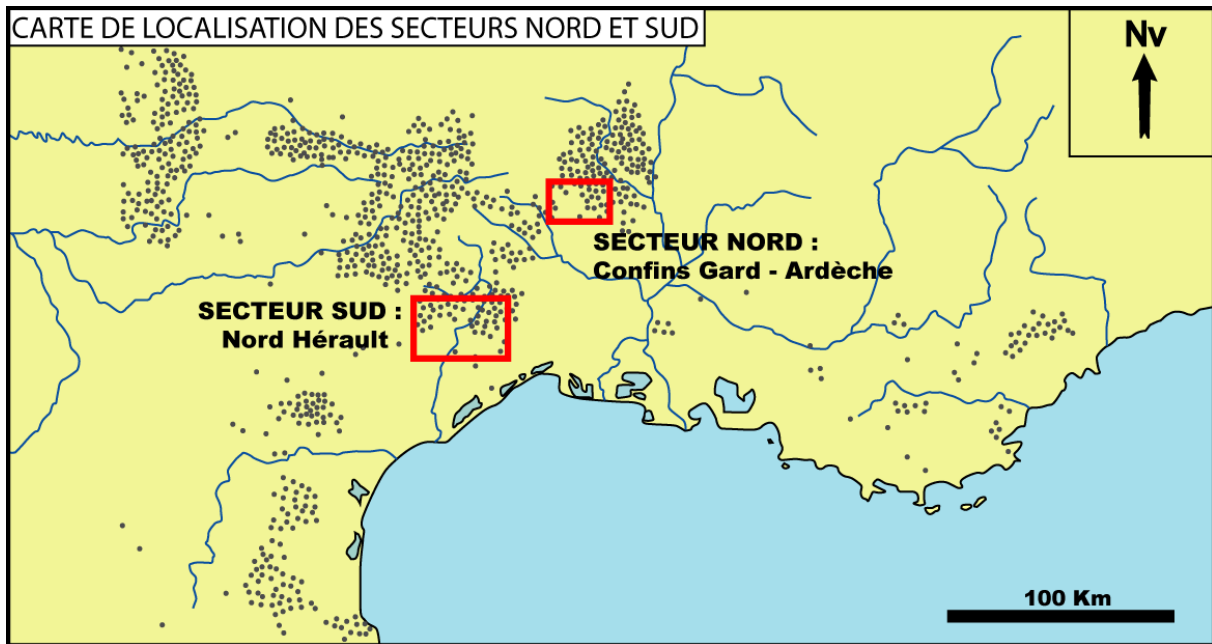


Fig. 5 – Carte de localisation des deux principaux secteurs de recherche ; la zone des confins du Gard et de l’Ardèche (secteur Nord) et la zone du Nord-est héraultais (secteur Sud).

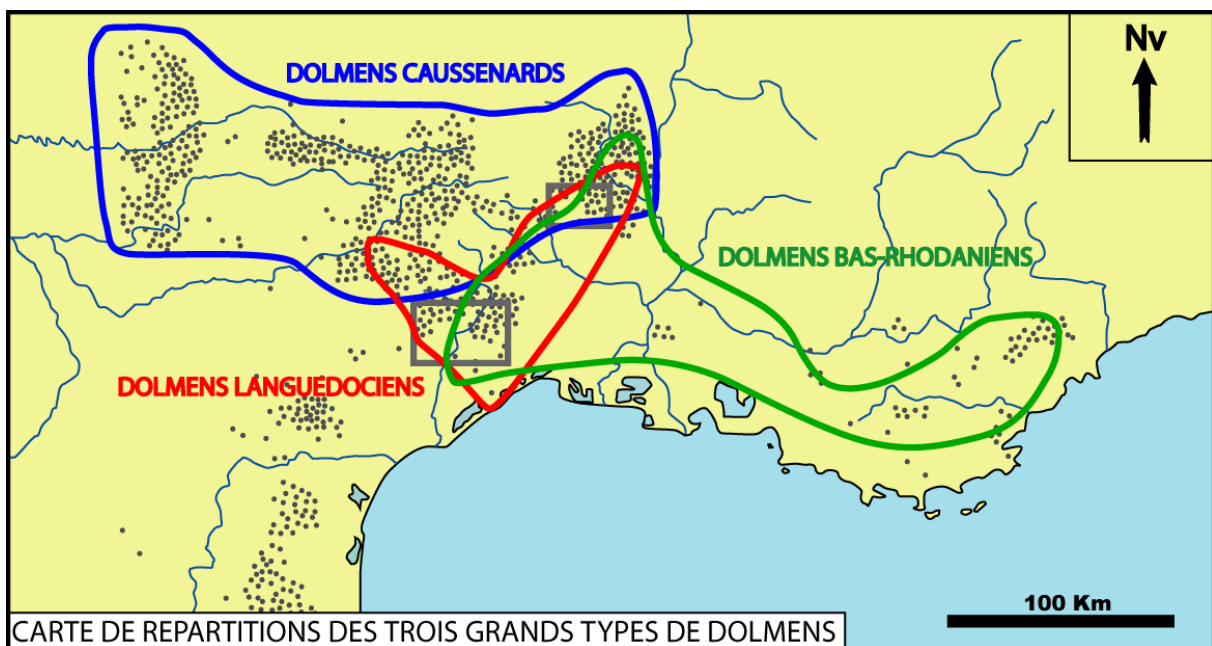


Fig. 6 – Carte de répartition des trois grands types de sépultures mégalithiques définis par Y. Chevalier en 1984 et localisation des deux secteurs de recherche (rectangles en grisé). (D’après Chevalier 1984).

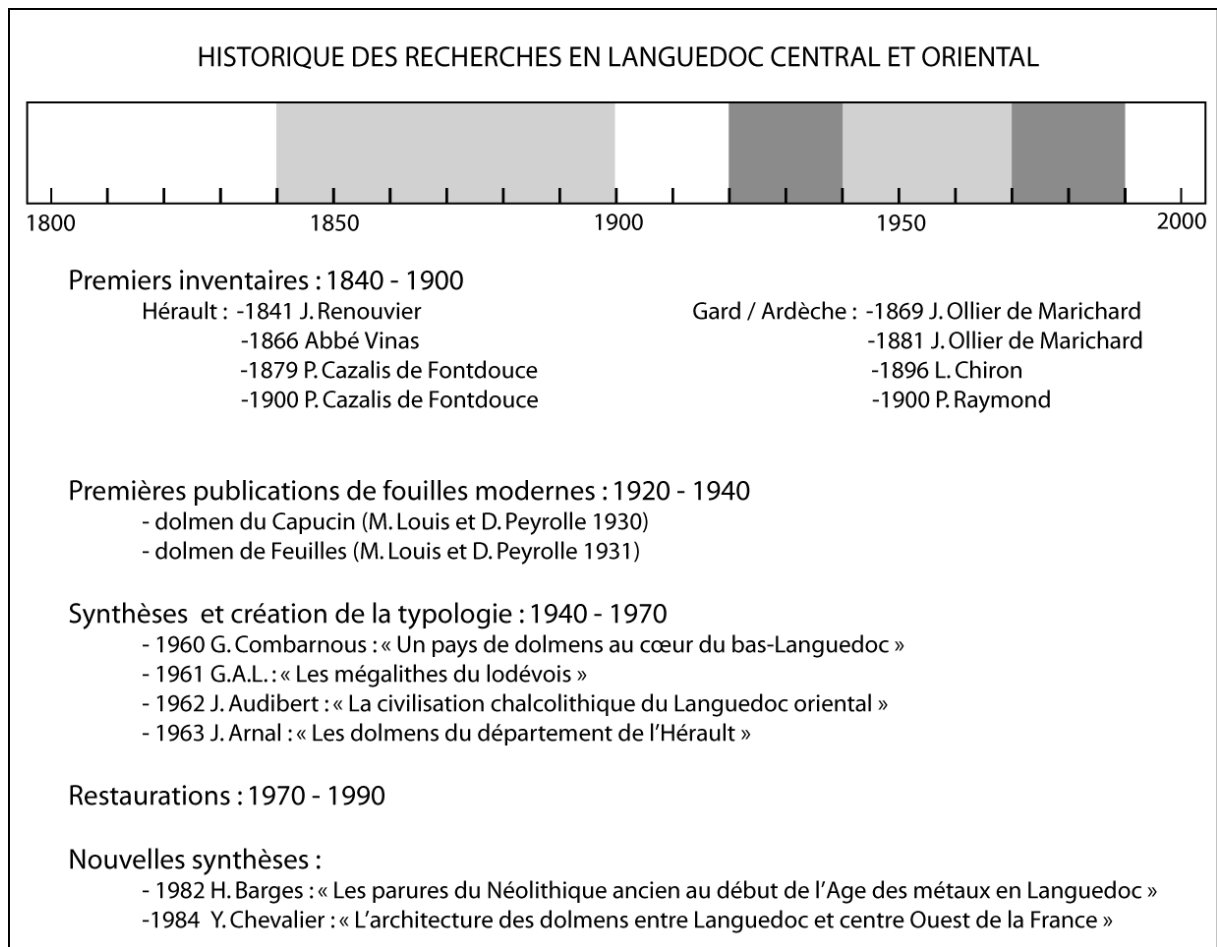


Fig. 7 – Historique des recherches concernant les sépultures collectives mégalithiques du Languedoc central et oriental ; depuis le 19^e siècle à nos jours.

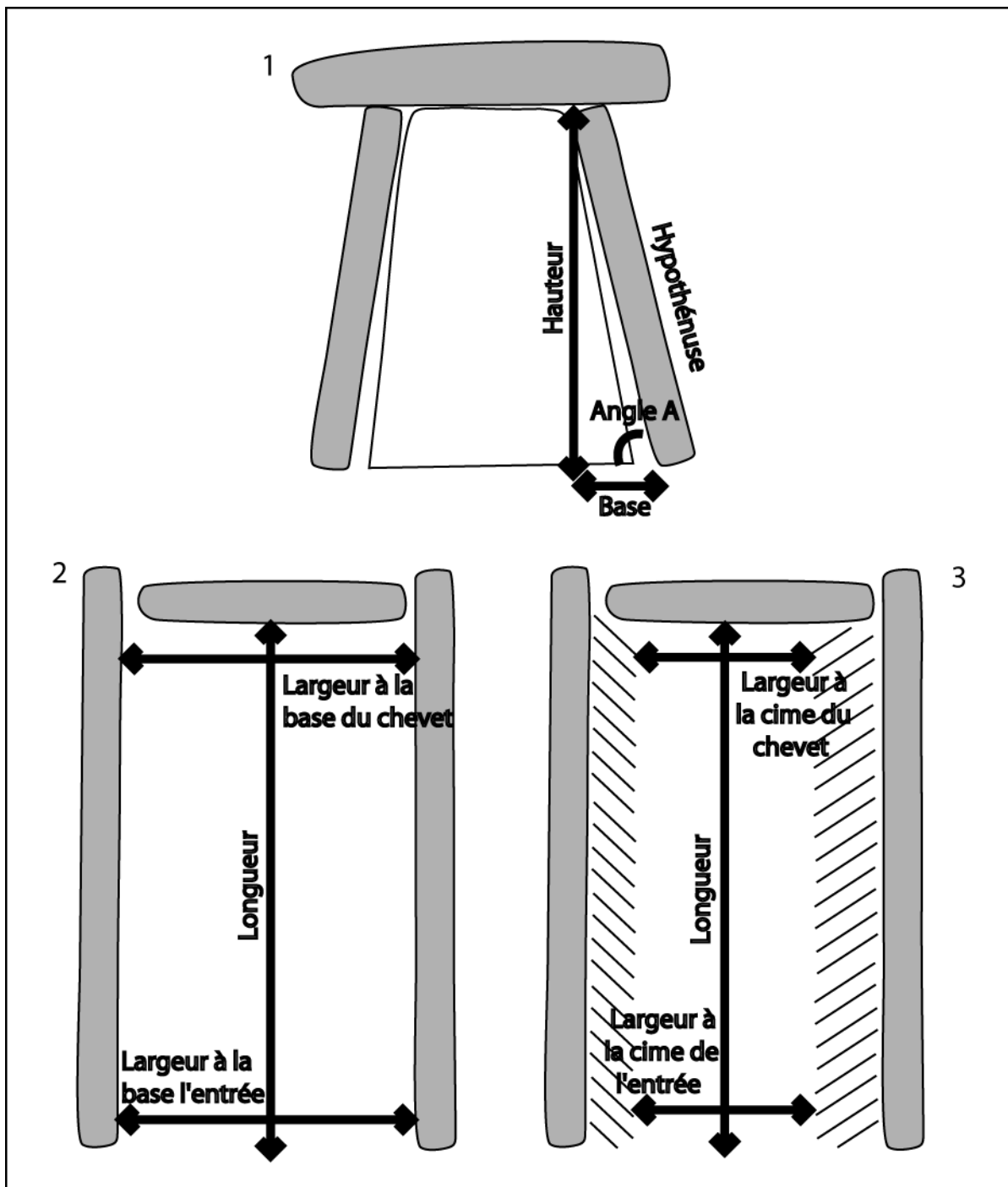


Fig. 8 – Description des différentes mesures prises sur les monuments visités, pour :

1. le calcul de l'inclinaison des parois latérales de la sépulture.
2. le calcul de la surface utile aux inhumations à la base visible des dalles.
3. le calcul de la surface à couvrir à la cime des piliers du caveau.

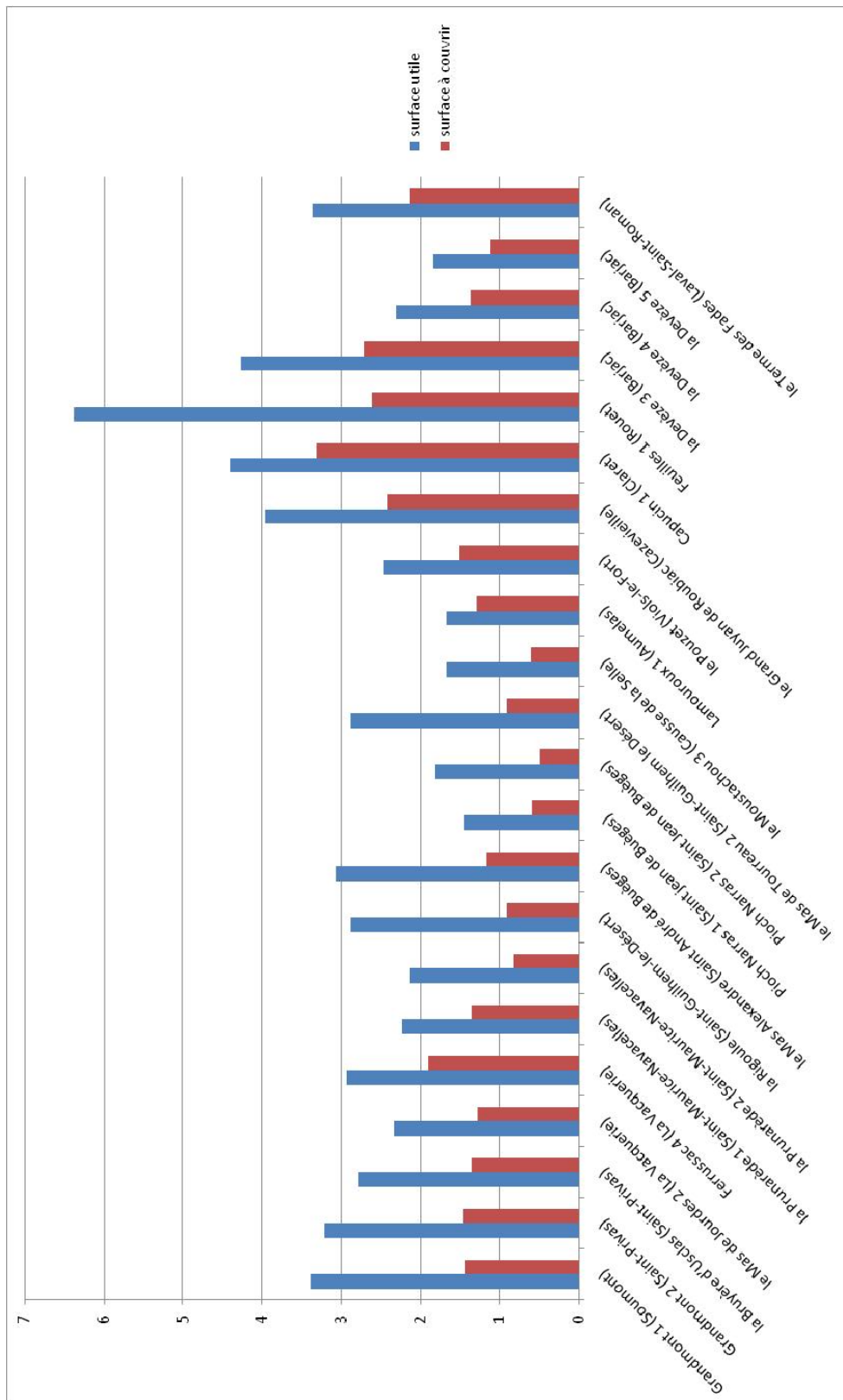


Fig. 9 – Ce graphique représente les différentes valeurs obtenues à l’issue du calcul de la surface utile et de la surface à couvrir de chacun des dolmens (d’après Tableau 1). L’axe des ordonnées donne la valeur en mètres carrés.

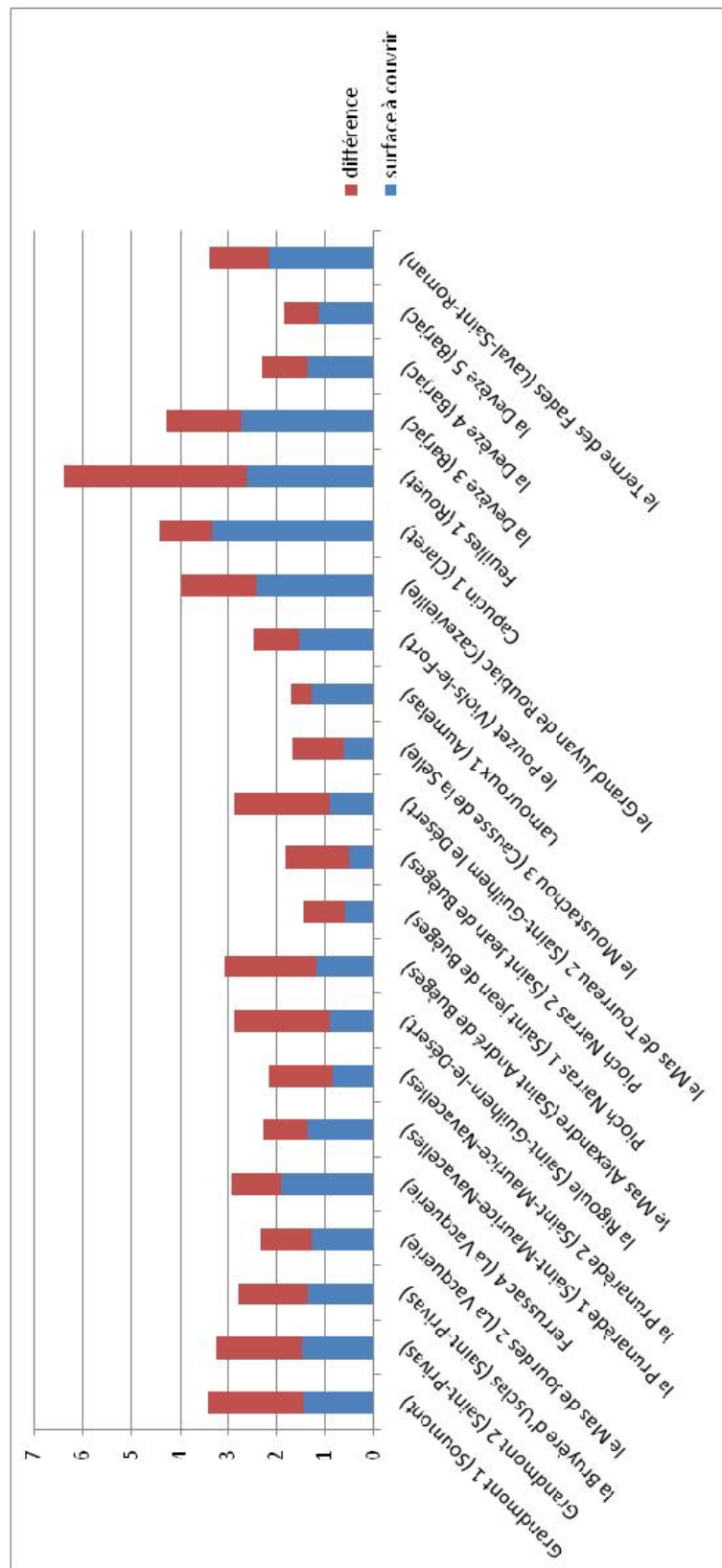


Fig. 10 – Ce graphique renseigne sur l'économie de surface à couvrir réalisée grâce à l'inclinaison des parois latérales. La somme des deux couleurs représente la surface utile aux inhumations (en m²) ; les bâtonnets bleus représentent la surface à couvrir (en m²) ; les bâtonnets rouge l'économie réalisée (en m²).

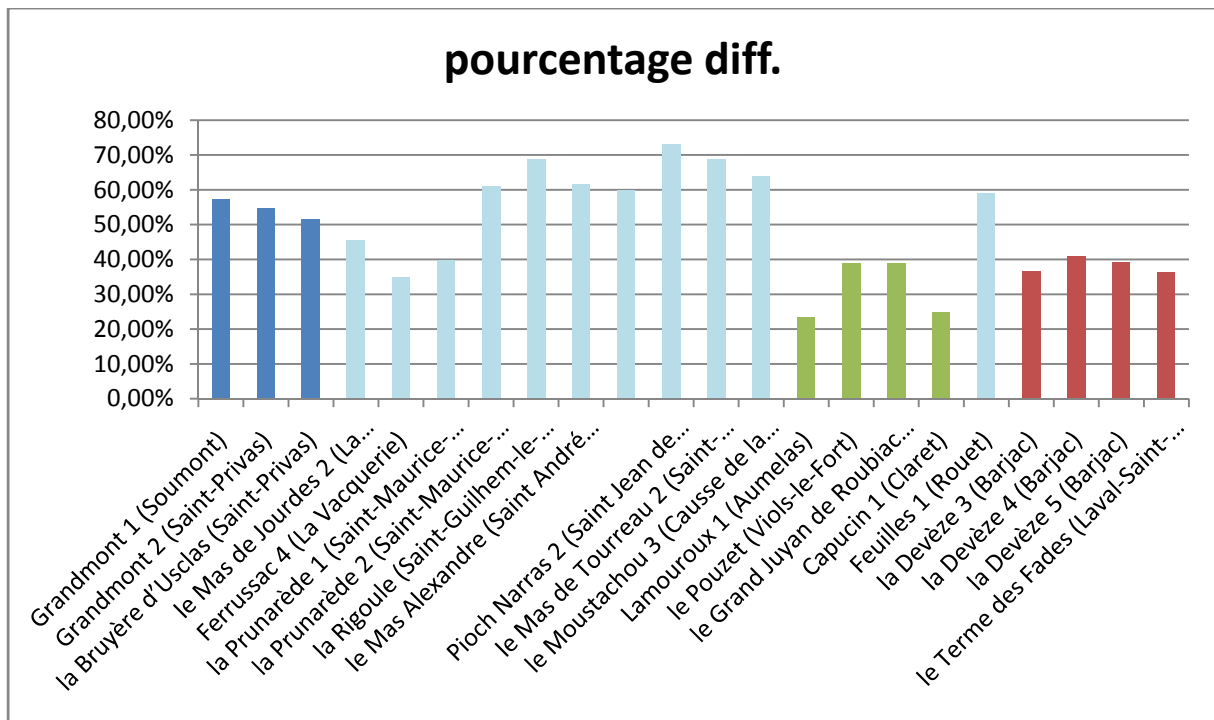


Fig. 11 – Cet autre graphique, associé à la Fig. 10, représente l'écart entre la surface utile aux inhumations et la surface à couvrir, en pourcentage de la surface utile. Les bâtonnets bleus foncés figurent les dolmens en grès du lodévois ; les bâtonnets rouges figurent les dolmens du Secteur Nord ; les bâtonnets verts figurent les dolmens pour lesquels l'érosion importante des dalles est manifeste ; les bâtonnets bleus foncés figurent les autres dolmens du secteur Sud.

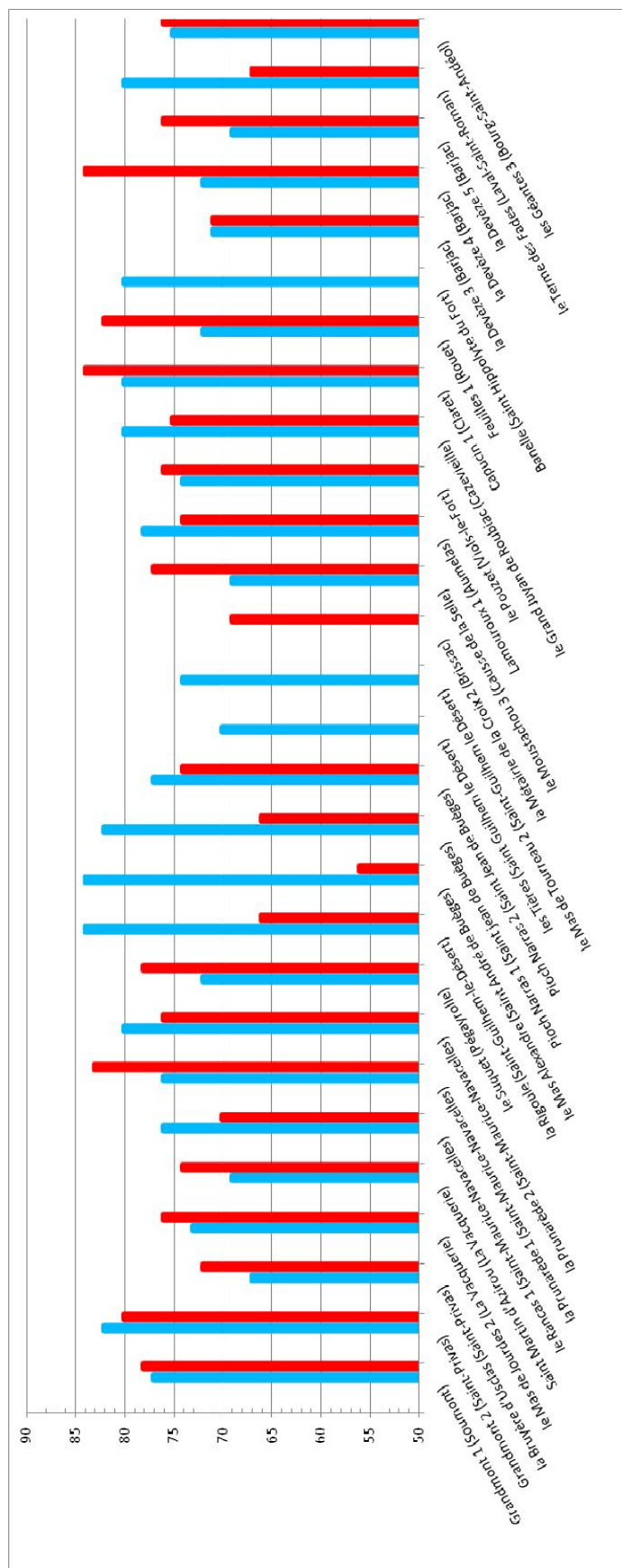


Fig. 12 – Ce graphique indique, en degrés (axe des ordonnées), l’inclinaison des deux parois de chacun des monuments recensés. Les bâtonnets bleus figurent l’angle A, ou dalle latérale droite ; les bâtonnets rouges figurent l’angle B, ou dalle latérale gauche.

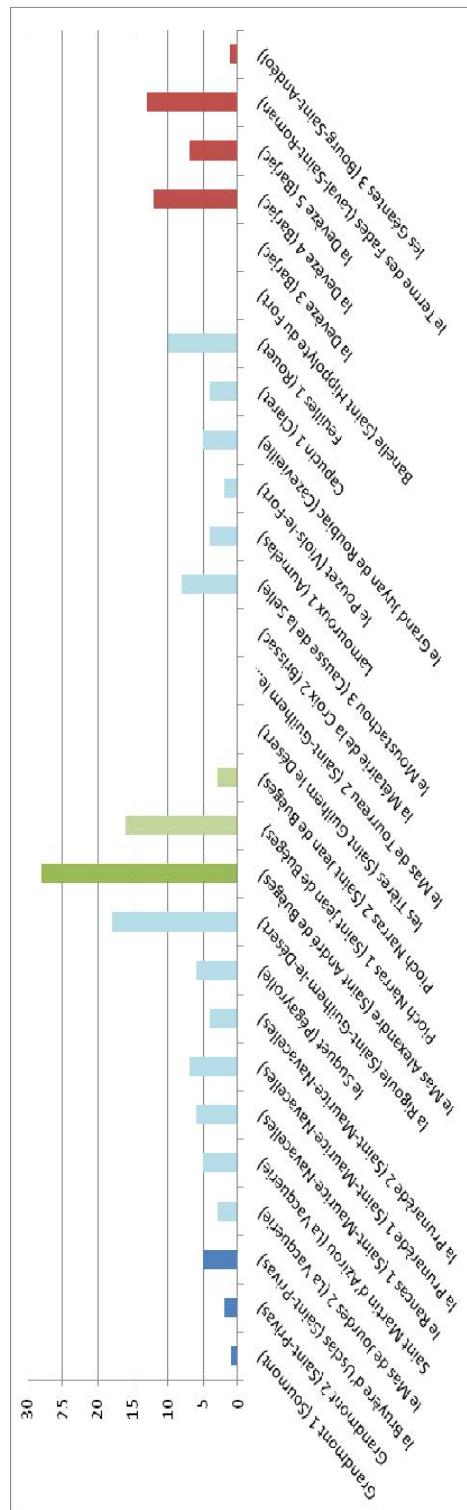


Fig. 13 – Ce diagramme représente l'écart, en degrés (axe des ordonnées), entre l'inclinaison des deux parois d'un même dolmen. Les bâtonnets bleus foncés figurent les dolmens en grès du lodévois ; les bâtonnets rouges figurent les dolmens du secteur Nord ; les bâtonnets verts figurent les dolmens de la Séranne ; les bâtonnets bleus clairs figurent les autres dolmens du secteur Sud.

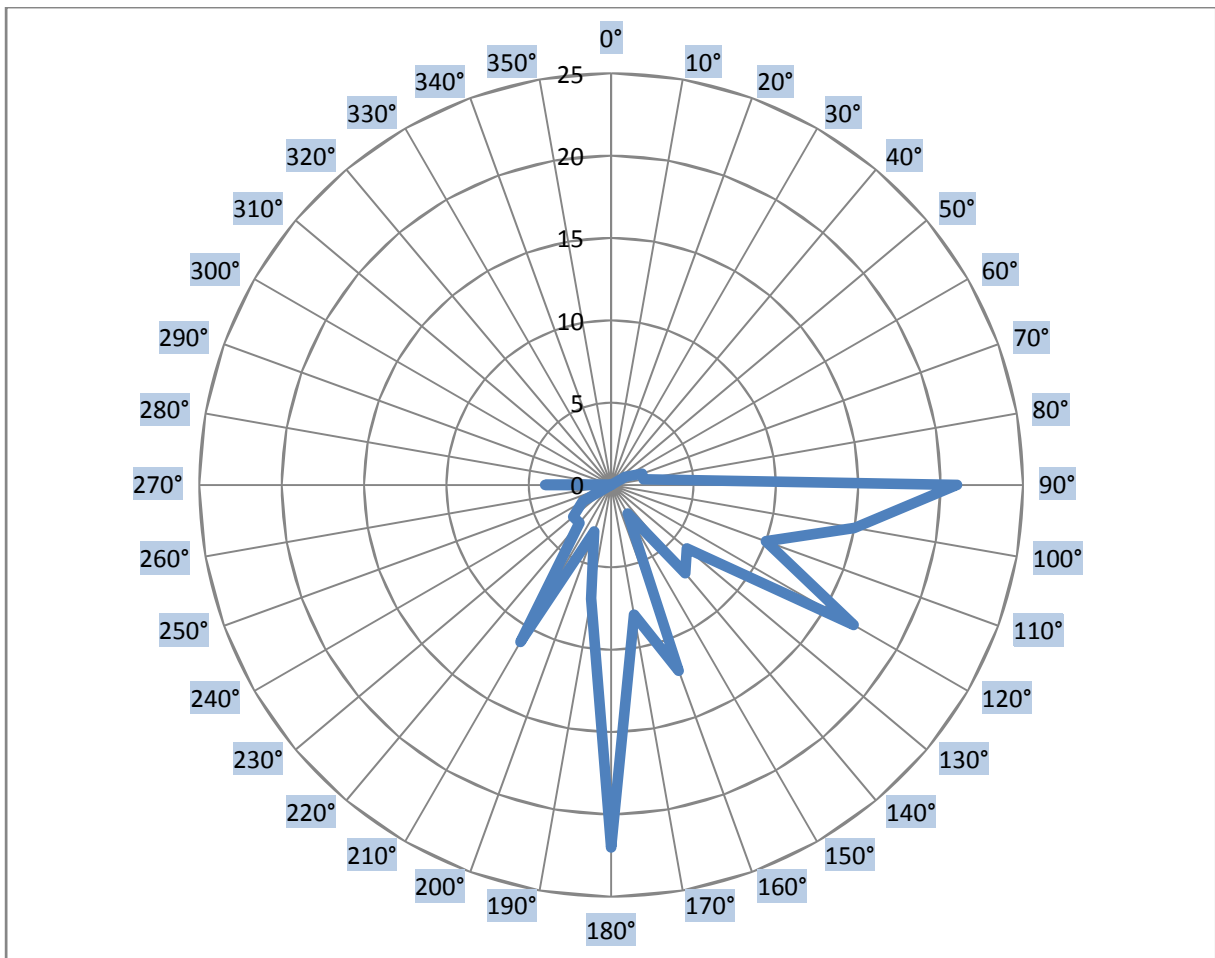
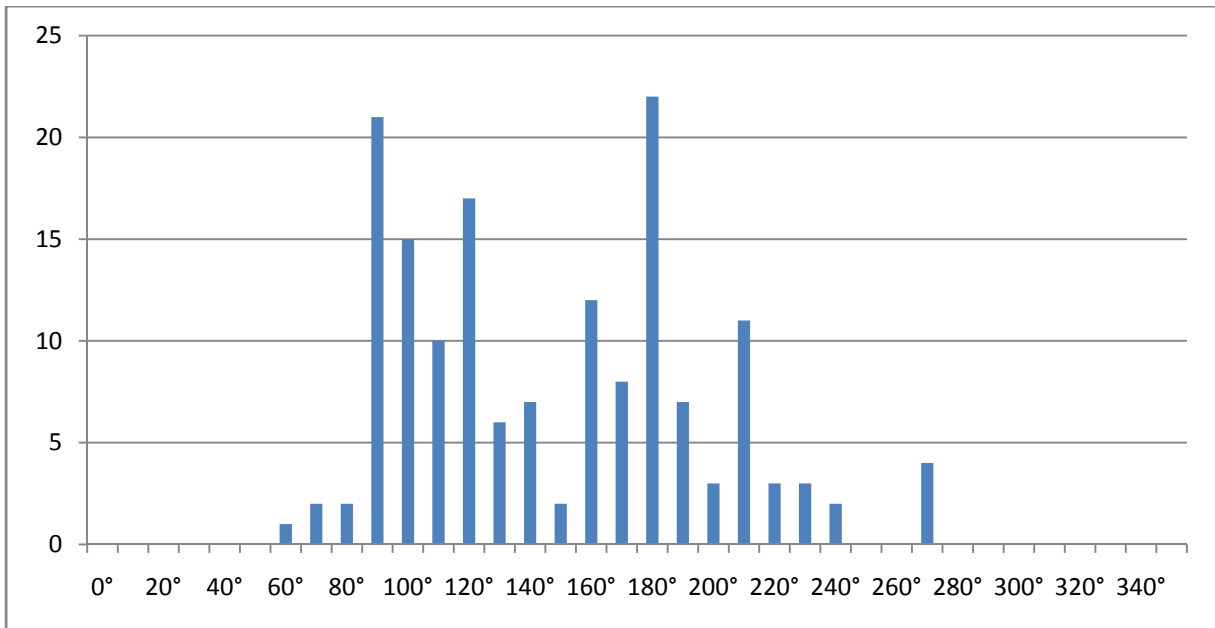


Fig. 14 – diagrammes de dispersion de l'orientation des dolmens du secteur Nord.

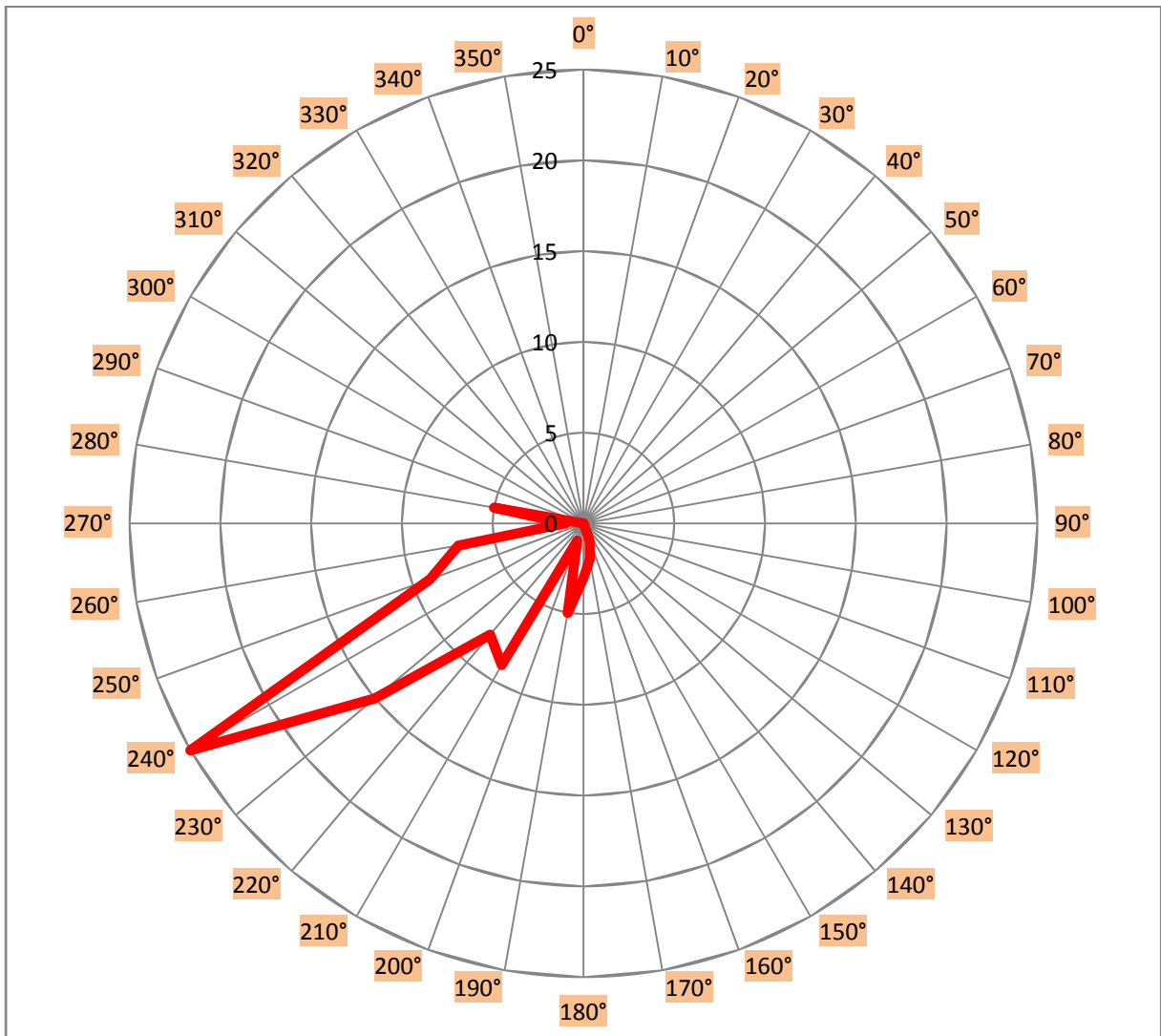
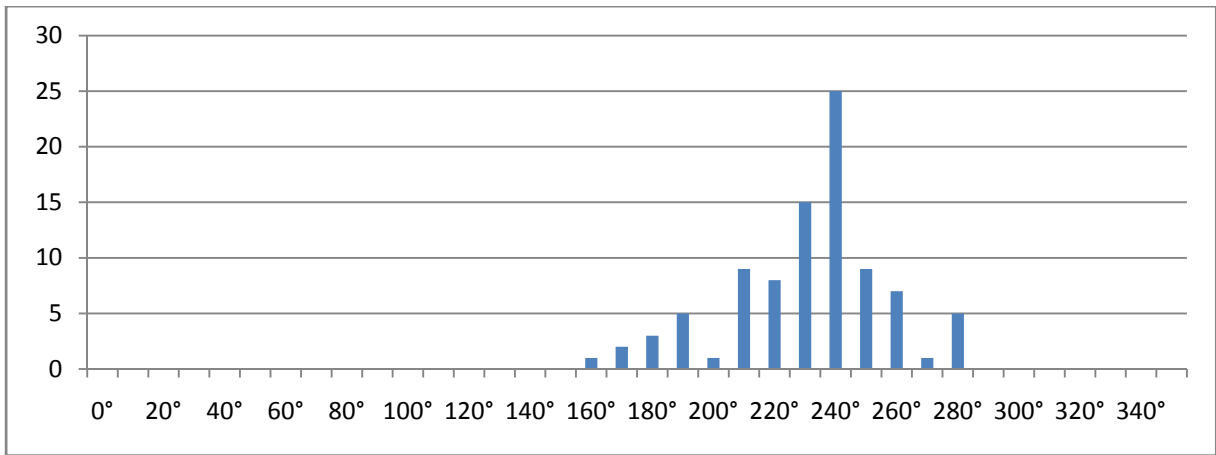


Fig. 15 – diagrammes de dispersion de l'orientation des dolmens du secteur Sud.

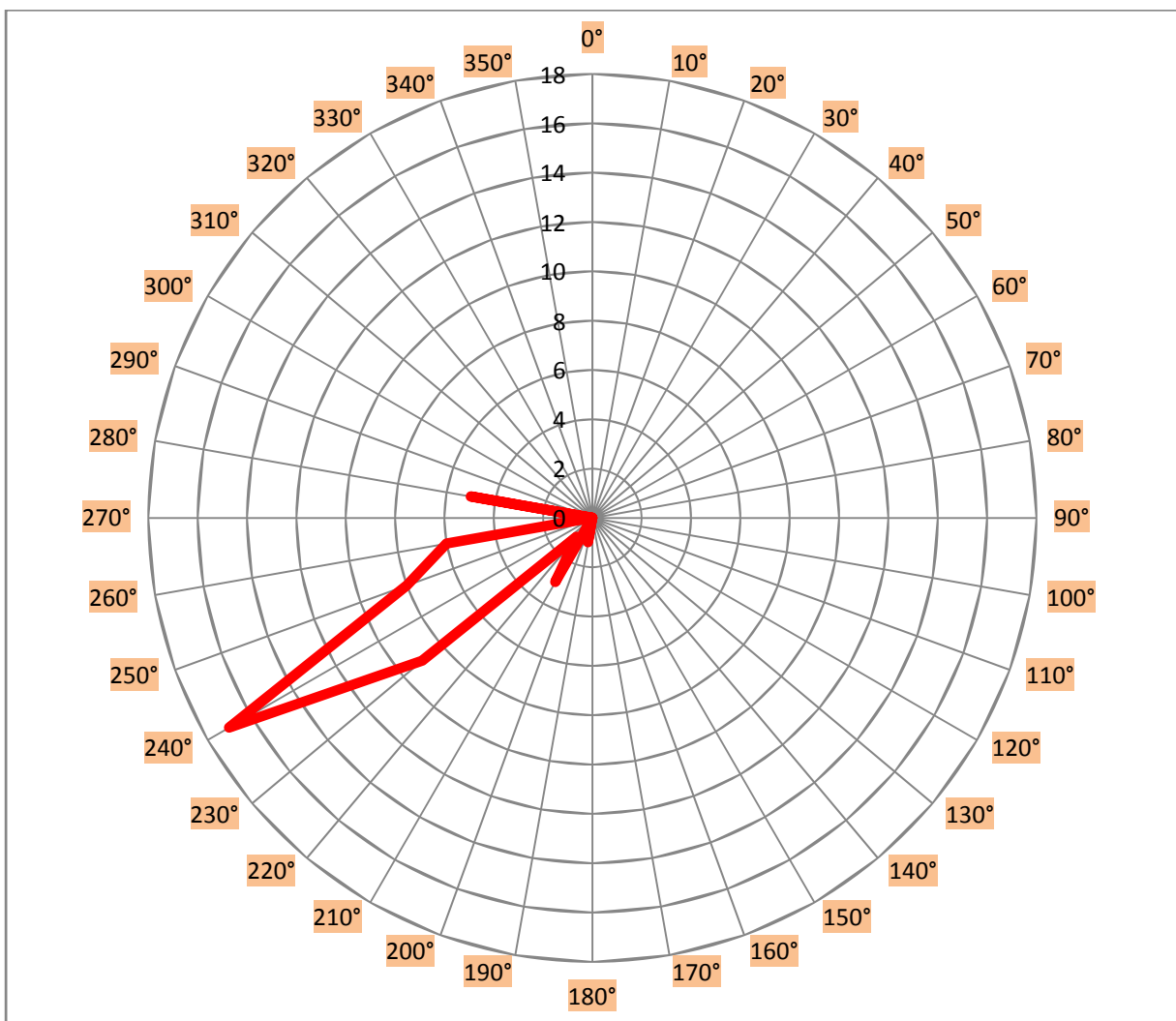
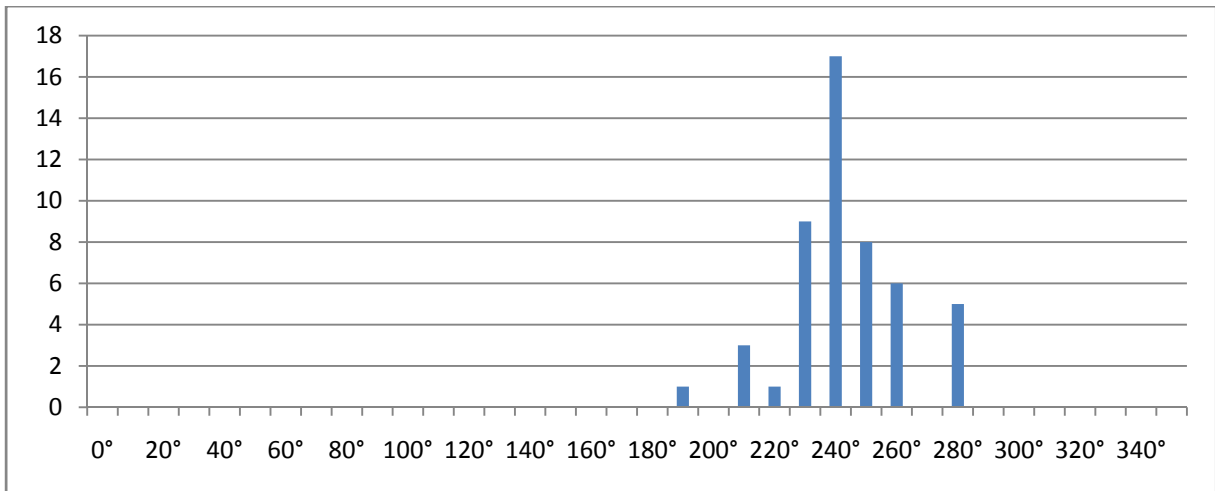


Fig. 16 – diagrammes de dispersion de l’orientation des dolmens du secteur Sud ; zone des Petits Causses.

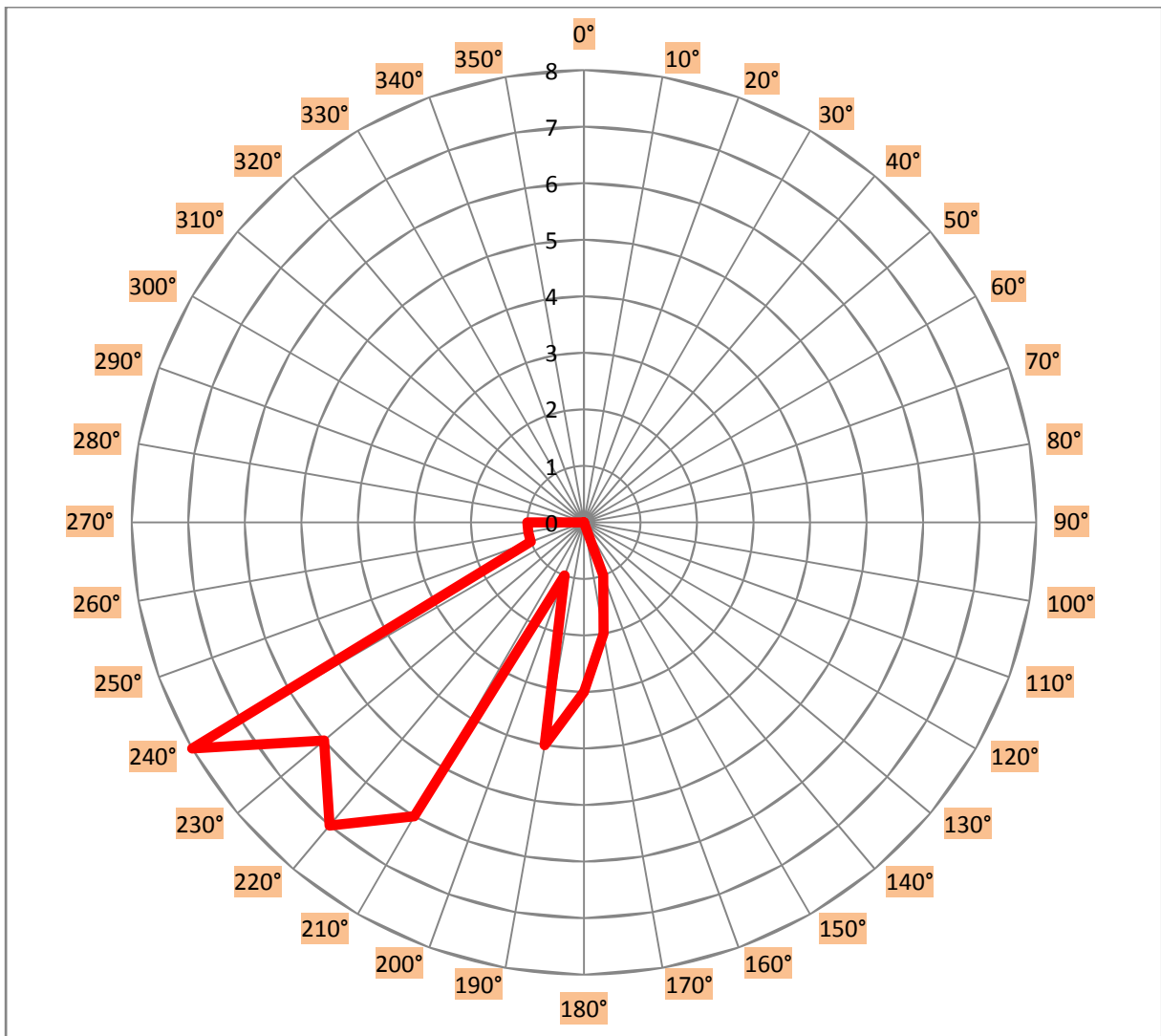
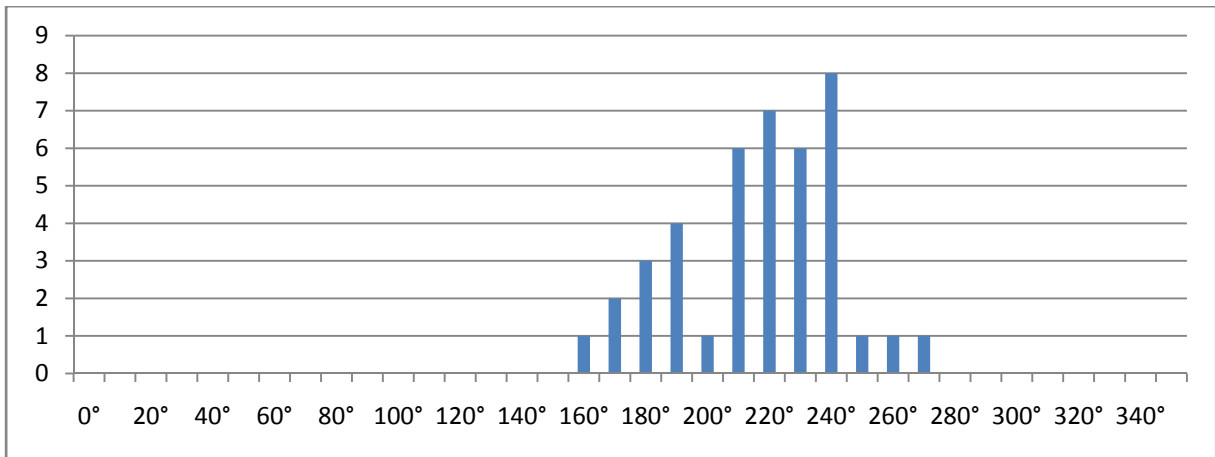


Fig. 17 – diagrammes de dispersion de l'orientation des dolmens du secteur Sud ; zone du Causse du Larzac et du Lodévois.

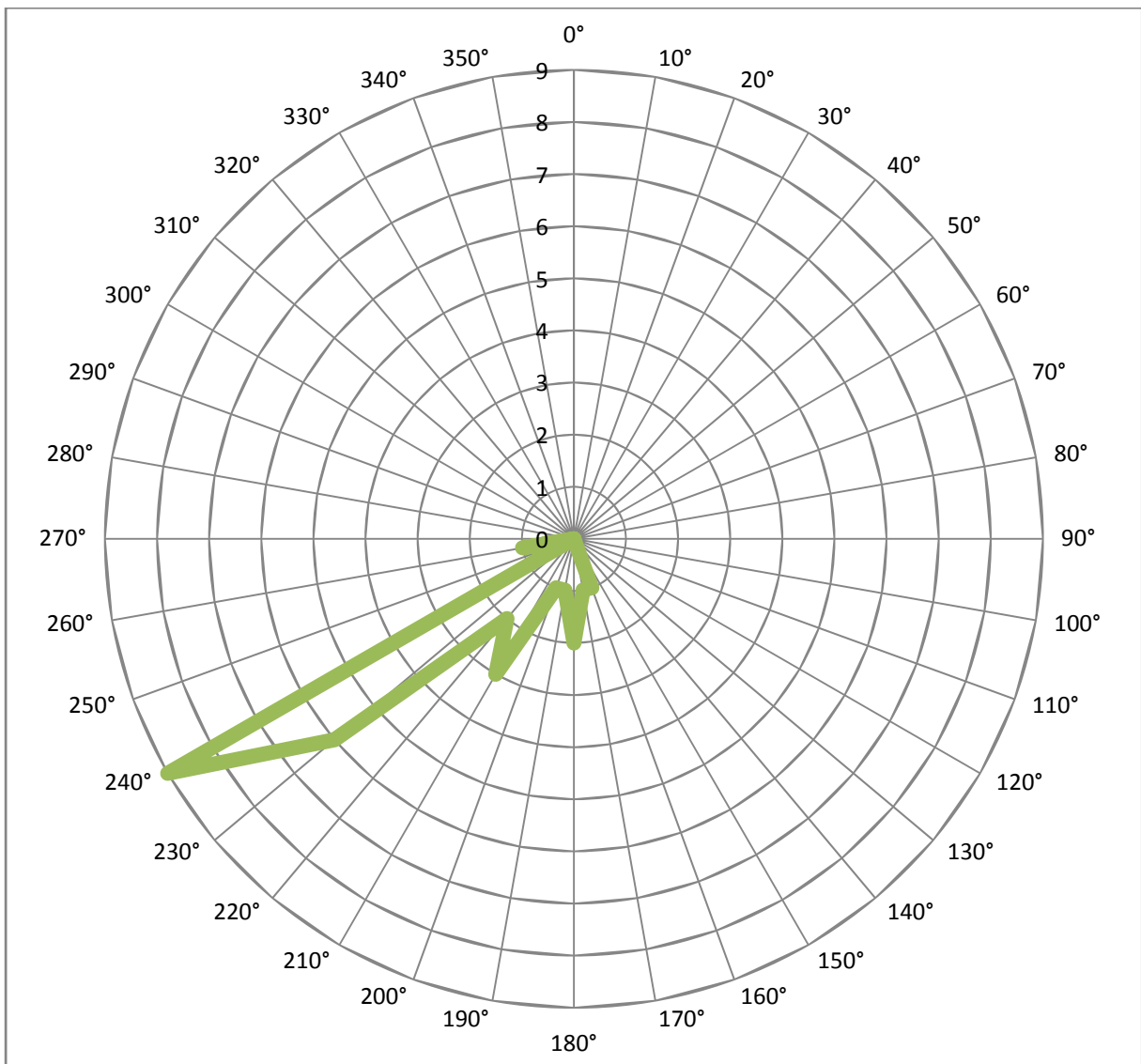
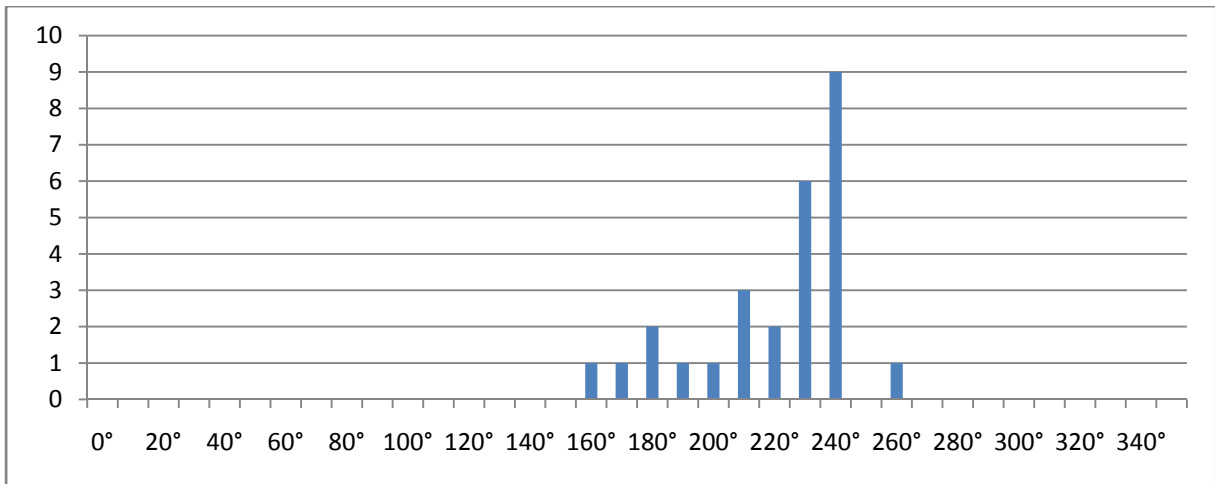


Fig. 18 – diagrammes de dispersion de l'orientation des dolmens à architecture trapézoïdale (ou type Grandmont – la Devèze) des Secteurs Nord et Sud.

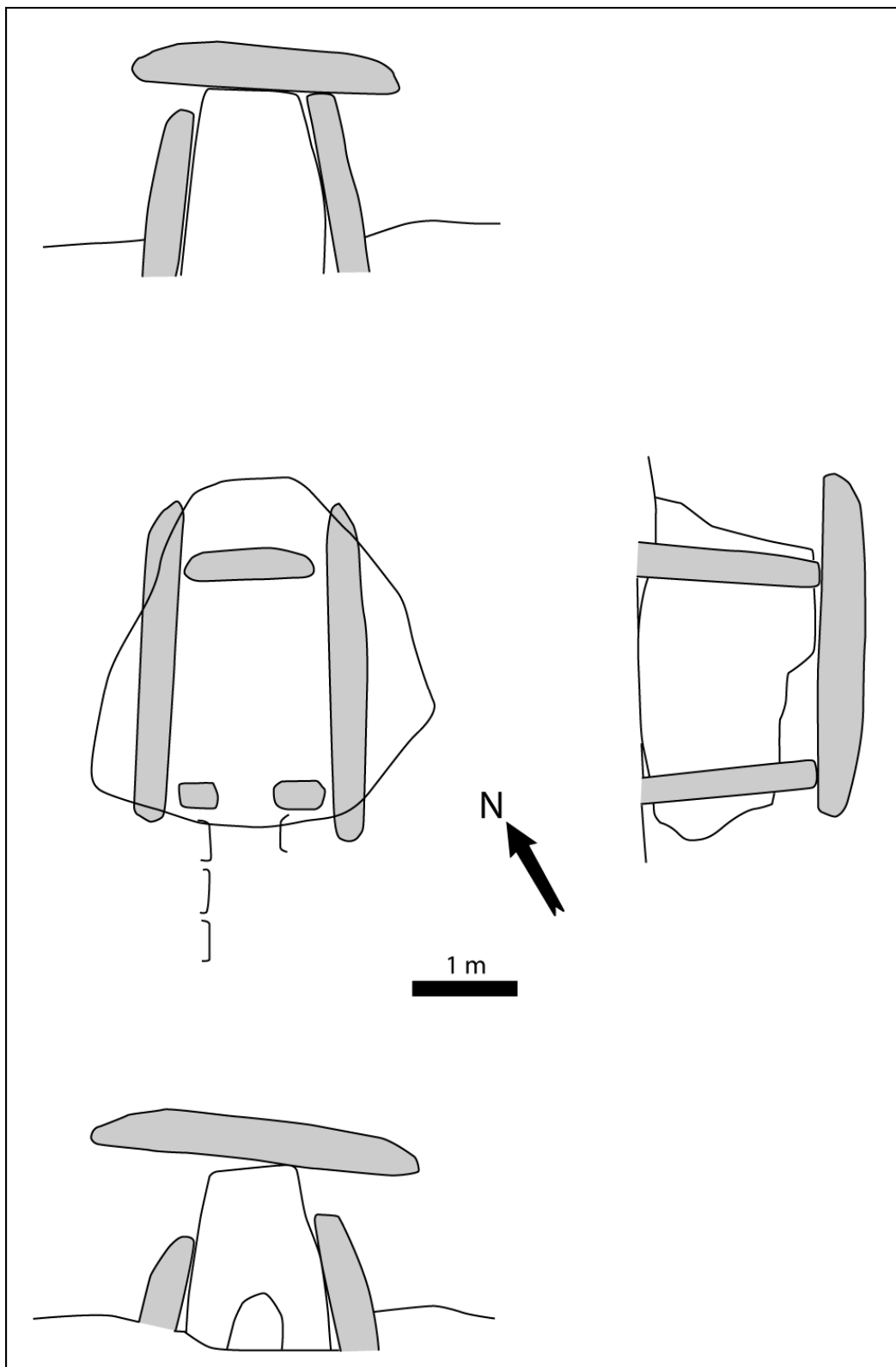


Fig. 19 – Dolmen de Grandmont 1; commune de Soumont (d’après Chevalier 1984).

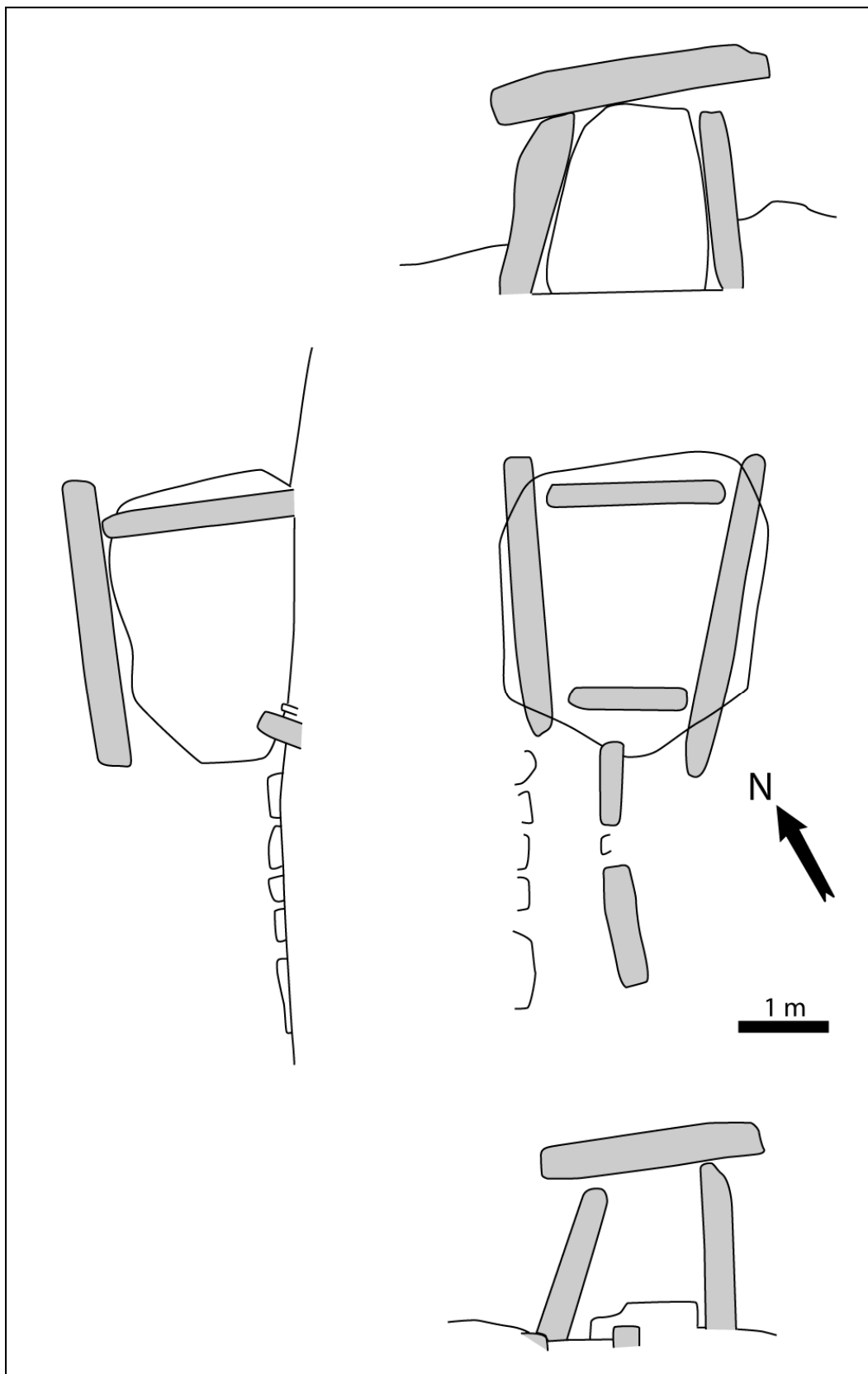


Fig. 20 – Dolmen de Grandmont 2; commune de Saint-Privat (d'après Chevalier 1984).

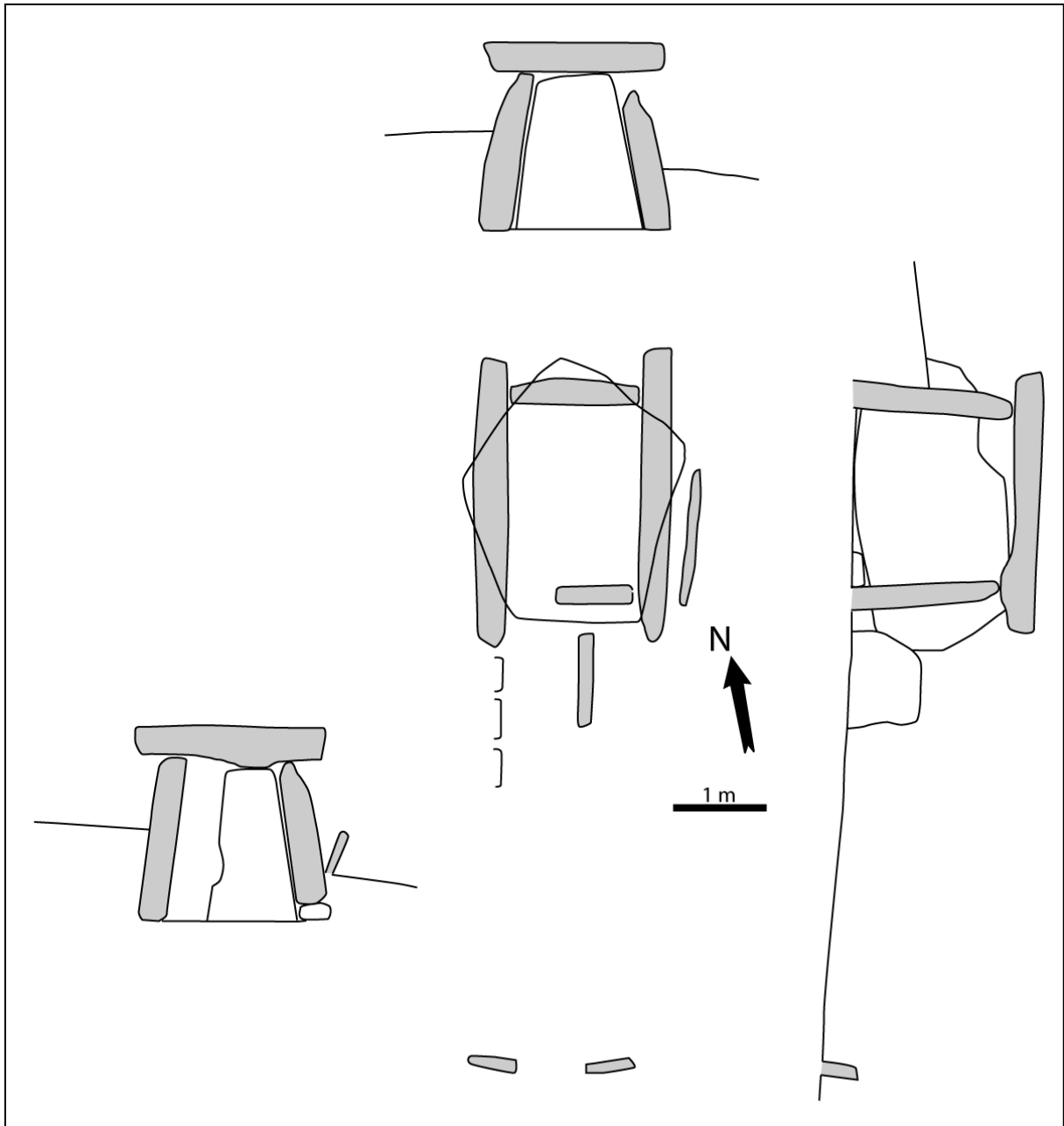


Fig. 21 – Dolmen de la Bruyère d’Usclas ; commune de Saint-Privat (d’après Chevalier 1984).

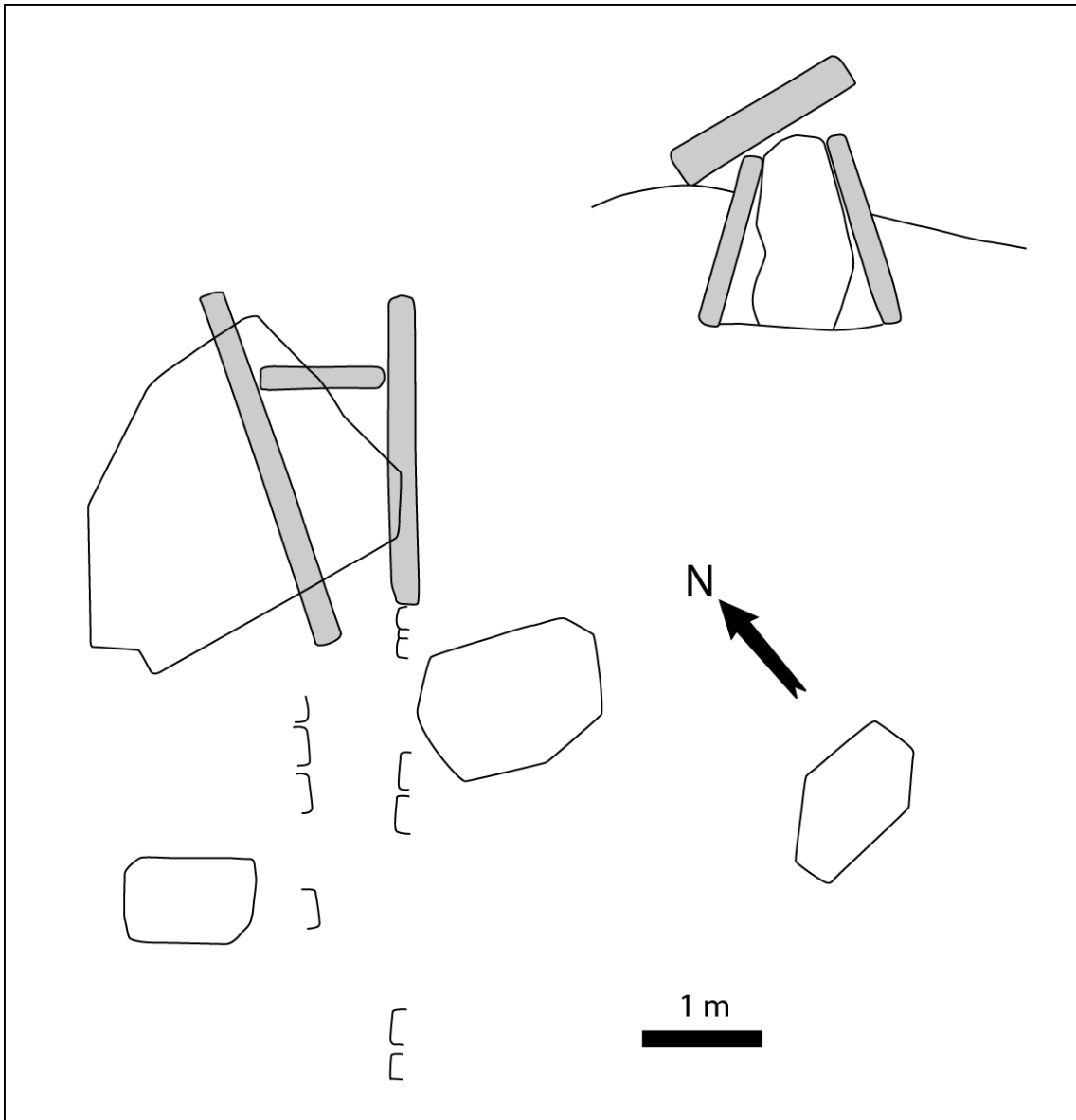


Fig. 22 – Dolmen du Mas de Jourdes 2, avant restauration; commune de La Vacquerie (d’après Arnal et al. 2006).

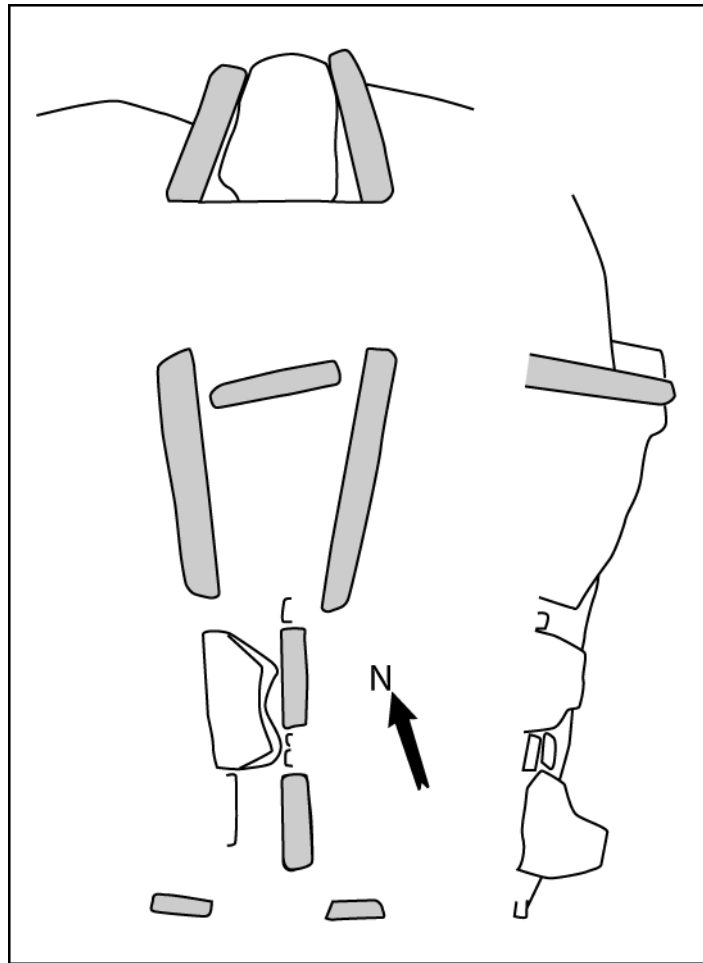


Fig. 23 – Dolmen du Rancas 1; commune de Saint-Maurice-Navacelles (d'après Chevalier 1984).

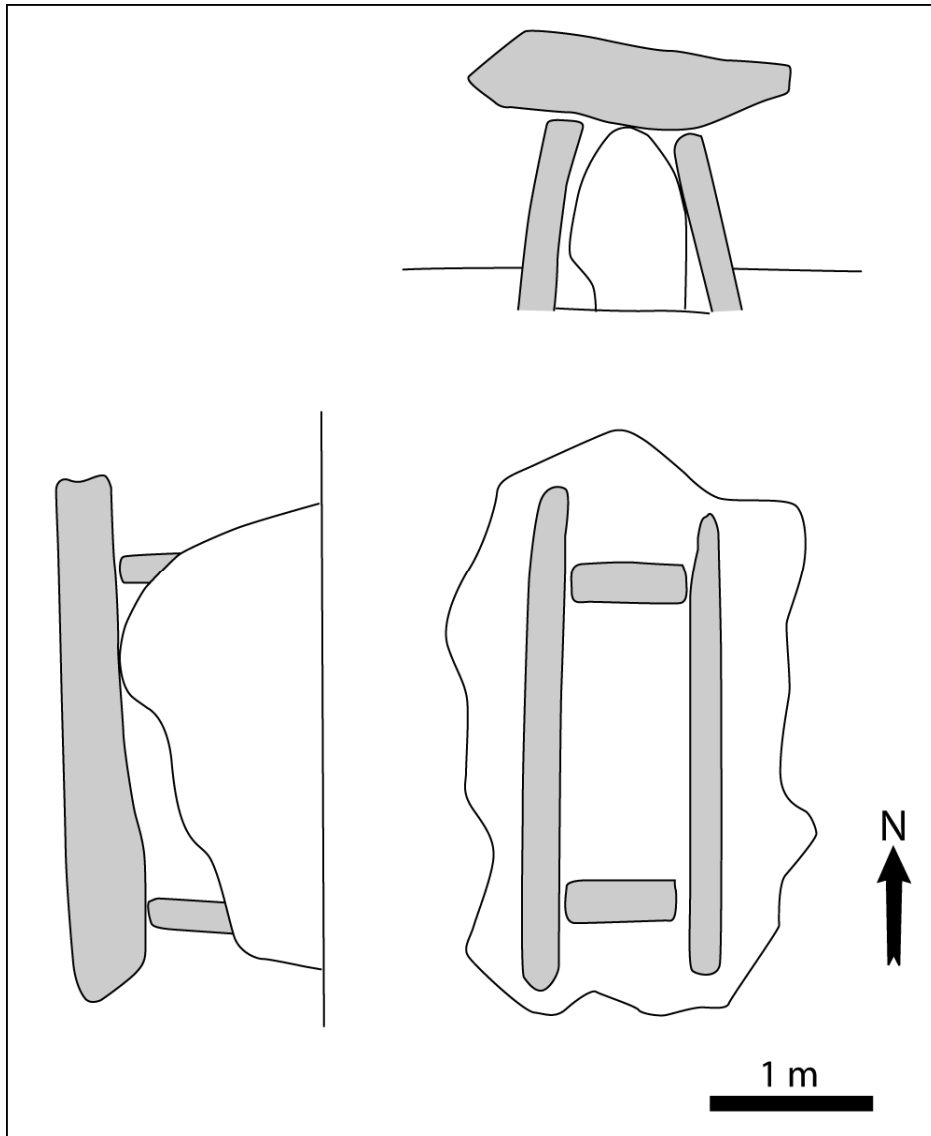


Fig. 24 – Dolmen de la Prunarède 1; commune de Saint-Maurice-Navacelles (d’après Arnal et al. 2006).

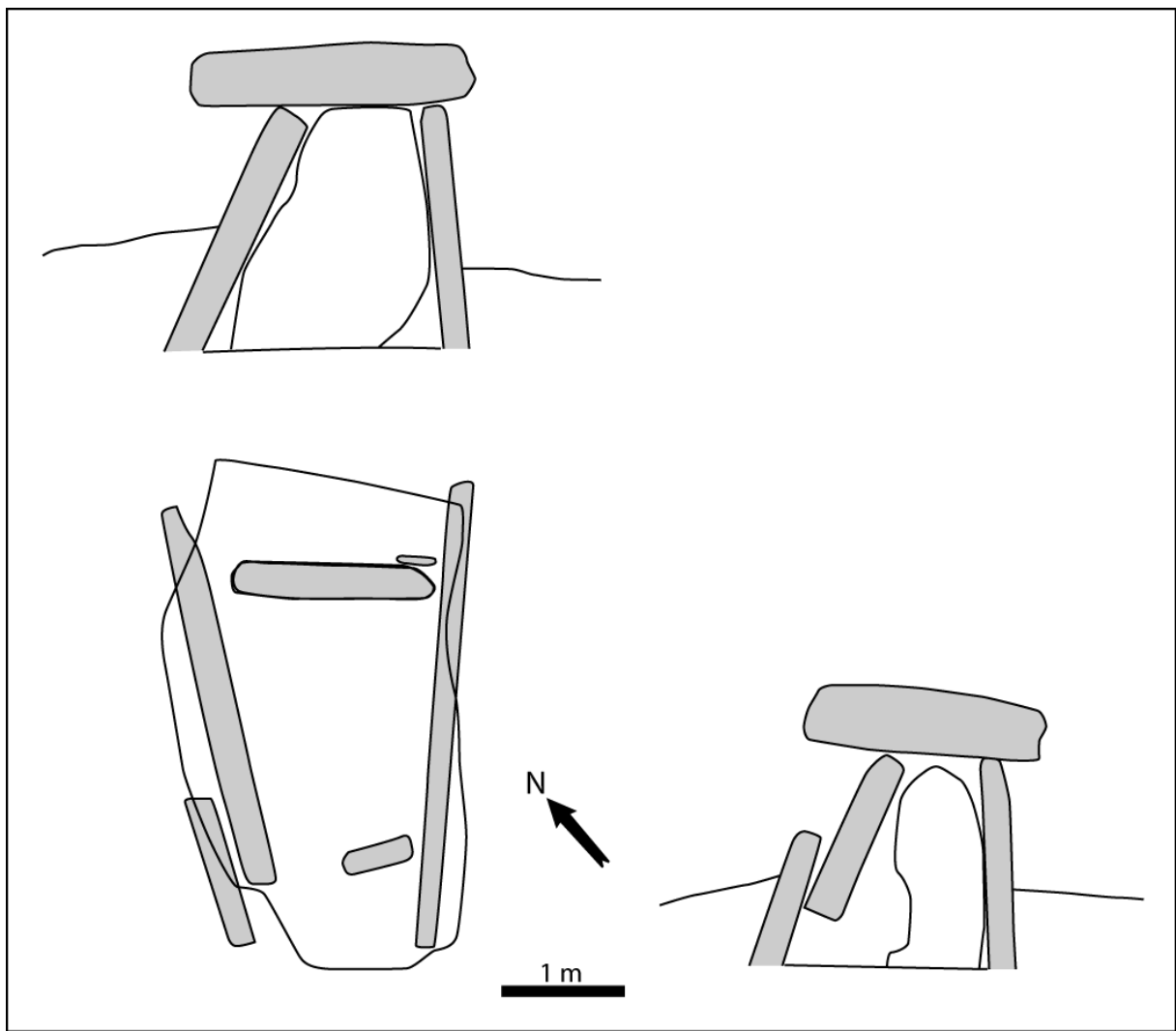


Fig. 25 – Dolmen de la Rigoule; commune de Saint-Guilhem-le-Désert (d’après Chevalier 1984).

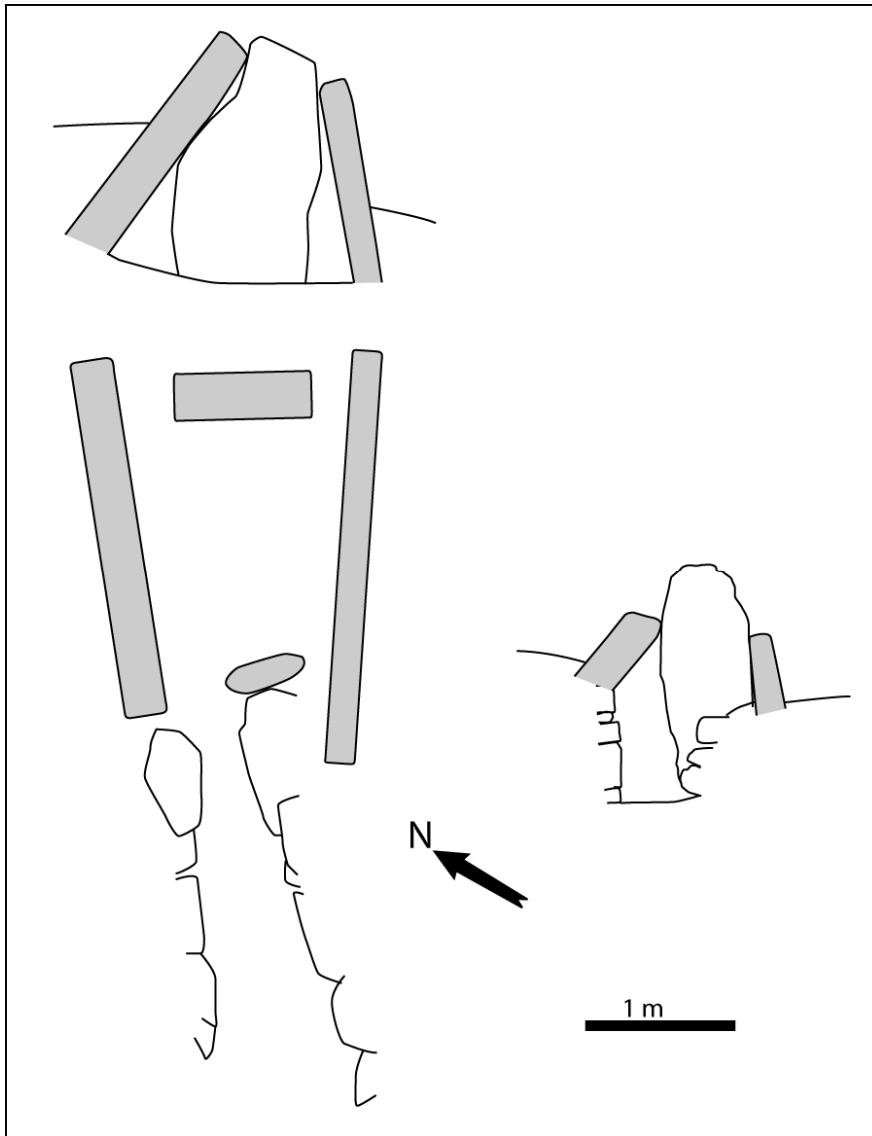


Fig. 26 – Dolmen du Mas Alexandre; commune de Saint-André-de-Buèges (d’après Arnal et al. 2006).

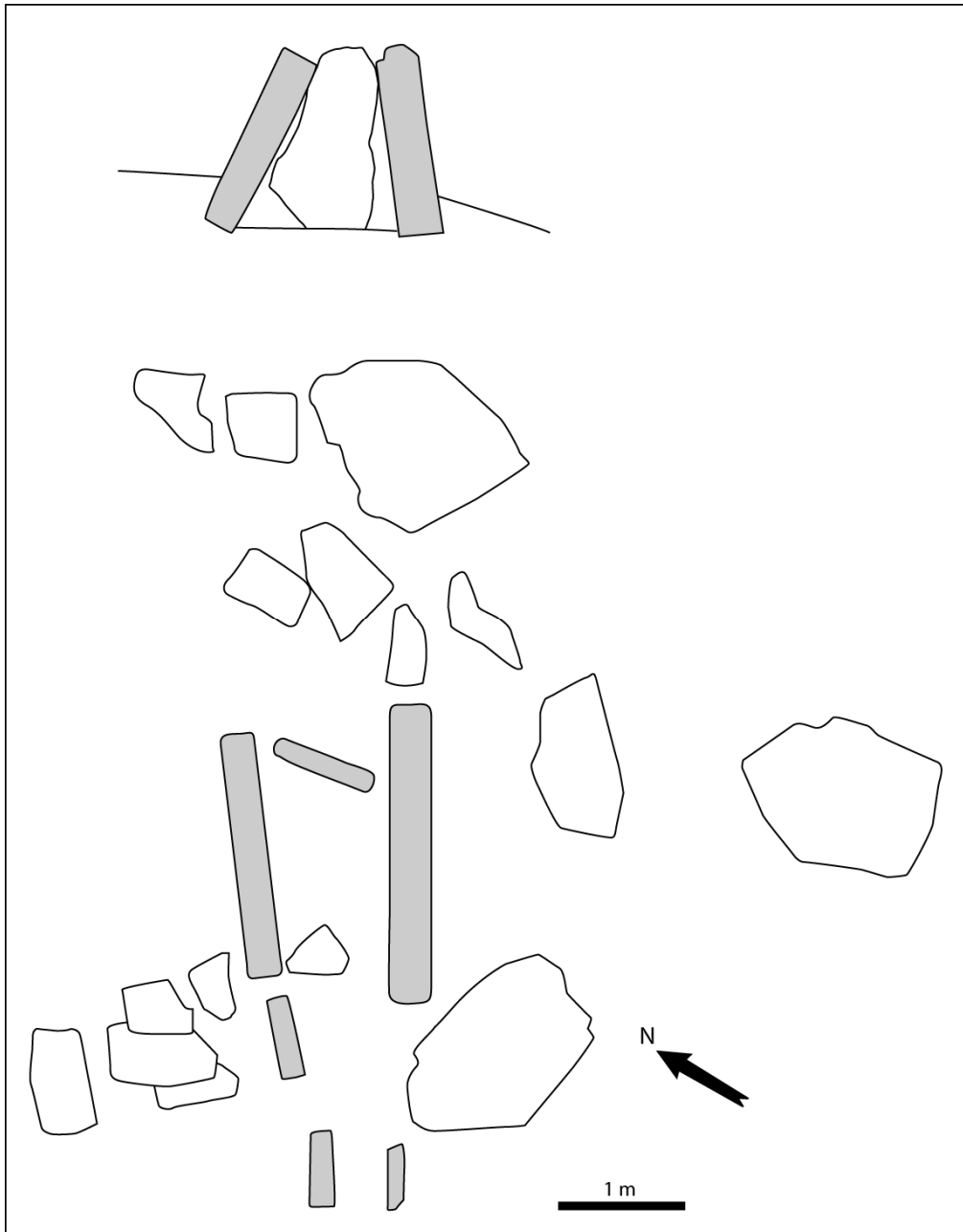


Fig. 27 – Dolmen de Pioch Narras 1, avant restauration; commune de Saint-Jean-de-Buèges (d’après Arnal et al. 2006).

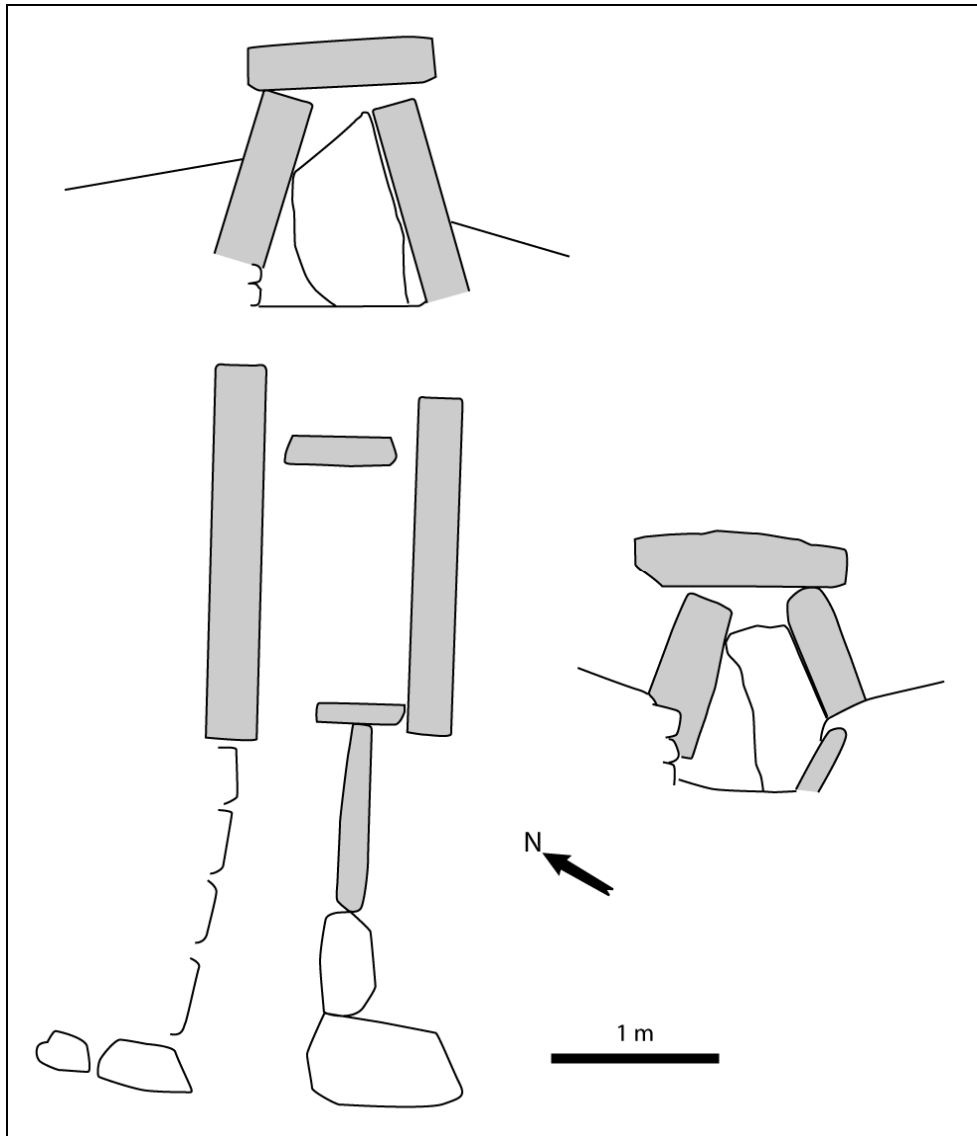


Fig. 28 – Dolmen de Pioch Narras 2, après restauration; commune de Saint-Jean-de-Buèges (d’après Arnal et al. 2006).

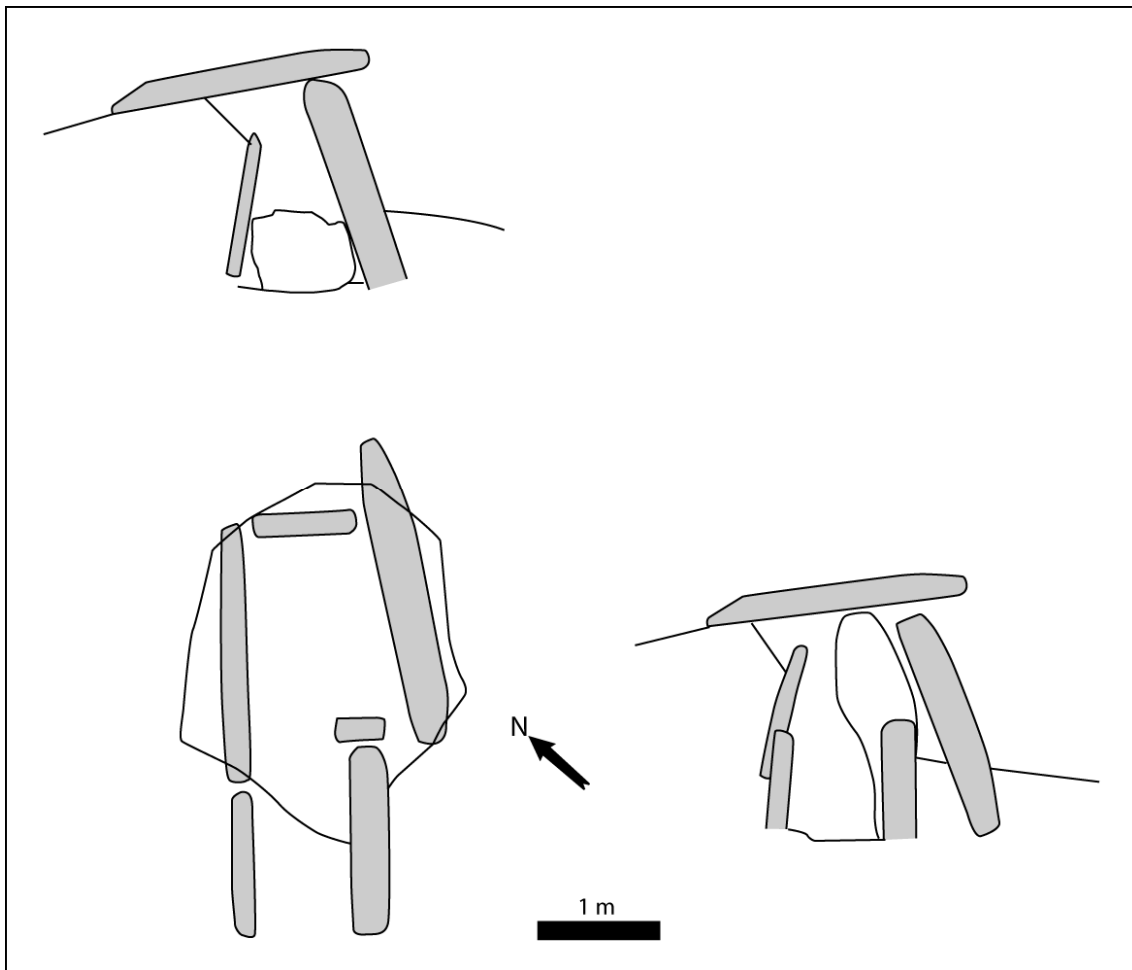


Fig. 29 – Dolmen des Tières, après restauration; commune de Saint-Guilhem-le-Désert (d'après Arnal et al. 2006).

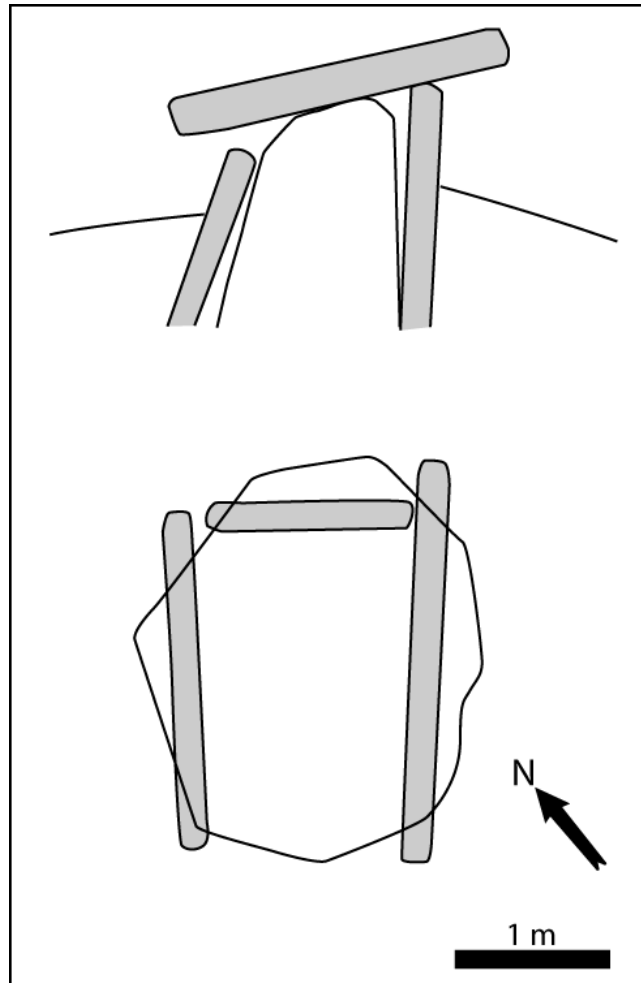


Fig. 30 – Dolmen du Mas de Tourreau 2, avant restauration; commune de Saint-Guilhem-le-Désert (d’après Arnal et al. 2006).

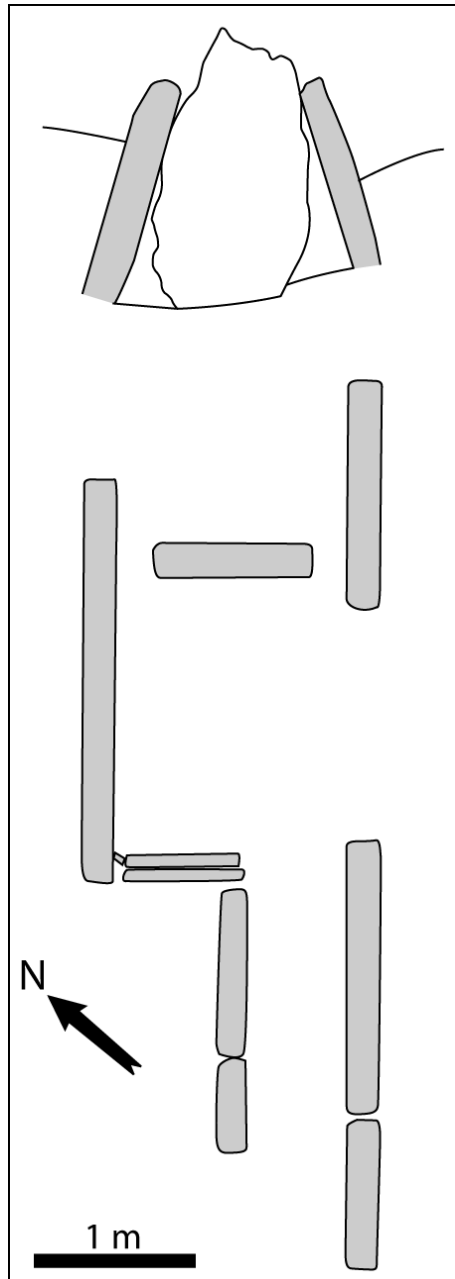


Fig. 31 – Dolmen de la Métairie de la Croix; commune de Brissac (Châteauneuf 2009).

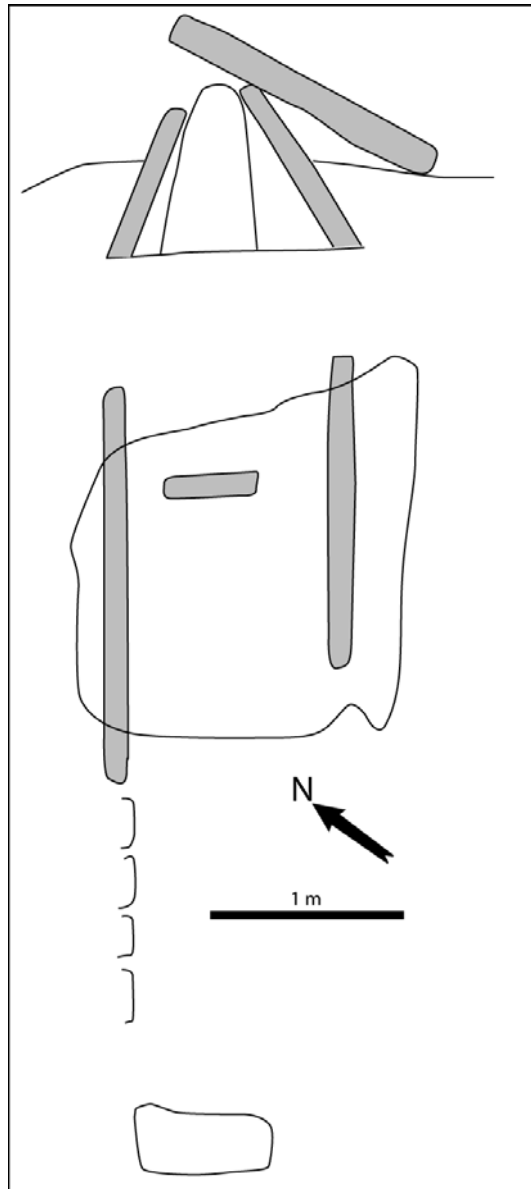


Fig. 32 – Dolmen du Moustachou 3; commune du Causse-de-la-selle (d’après Arnal 1963).

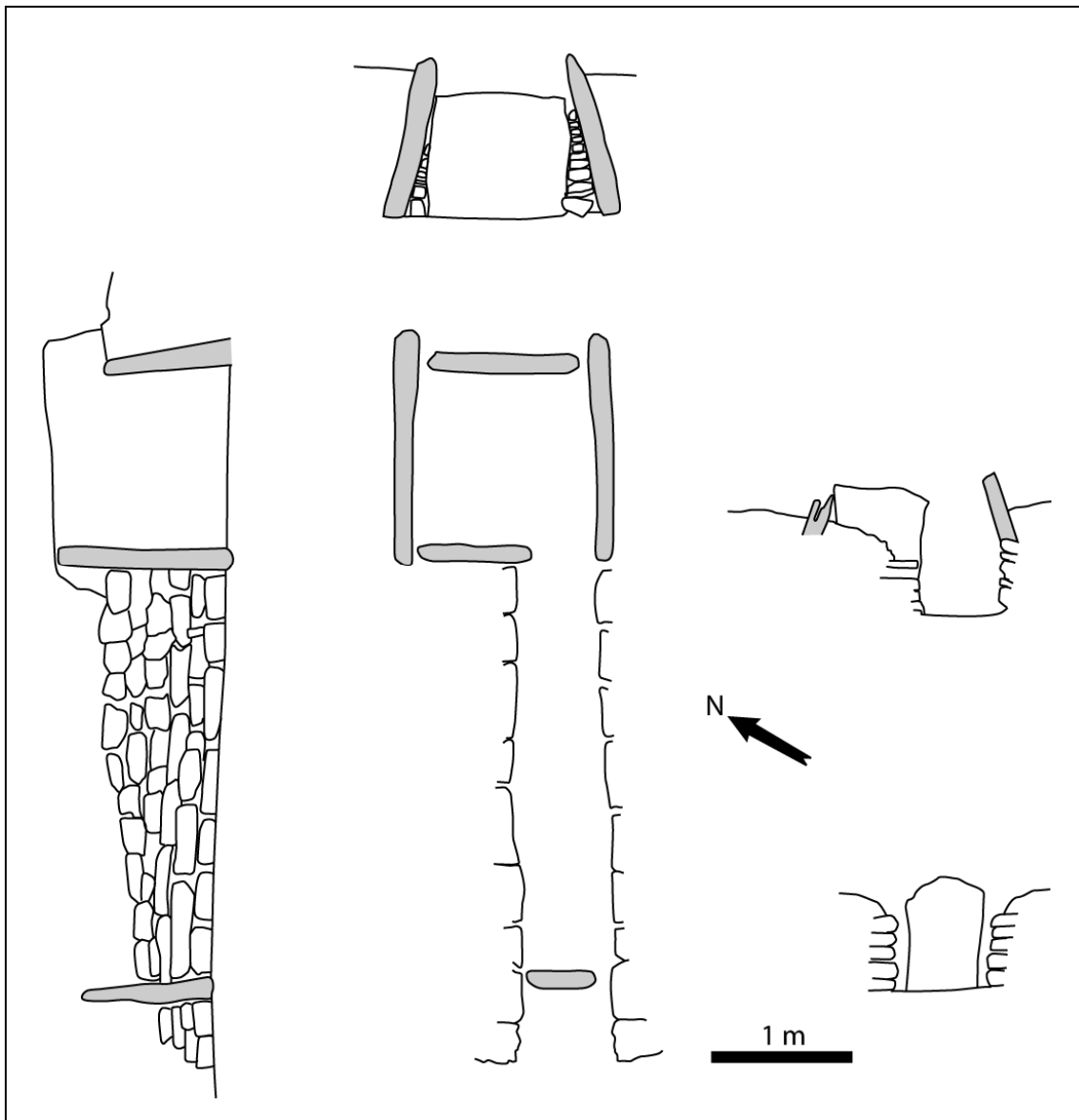


Fig. 33 – Dolmen du Pouzet; commune de Viols-le-Fort (Rocca et Châteauneuf 2009 ; d'après Rocca).

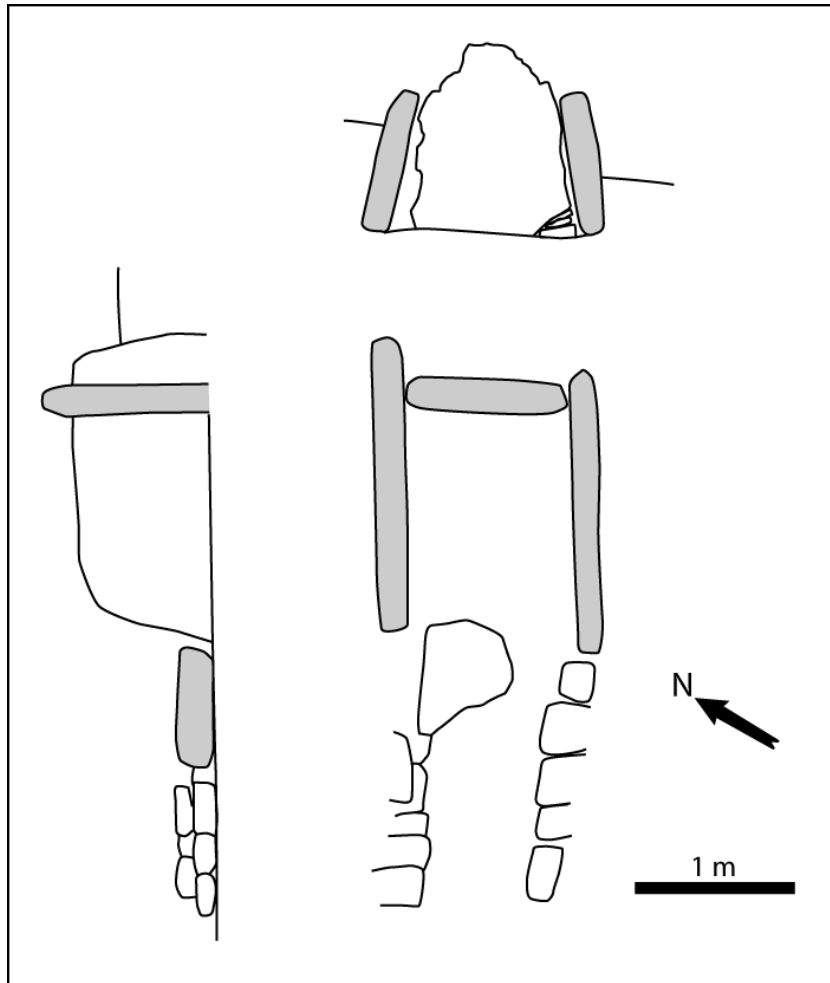


Fig. 34 – Dolmen de Lamouroux 1; commune d’Aumelas (d’après Rocca).

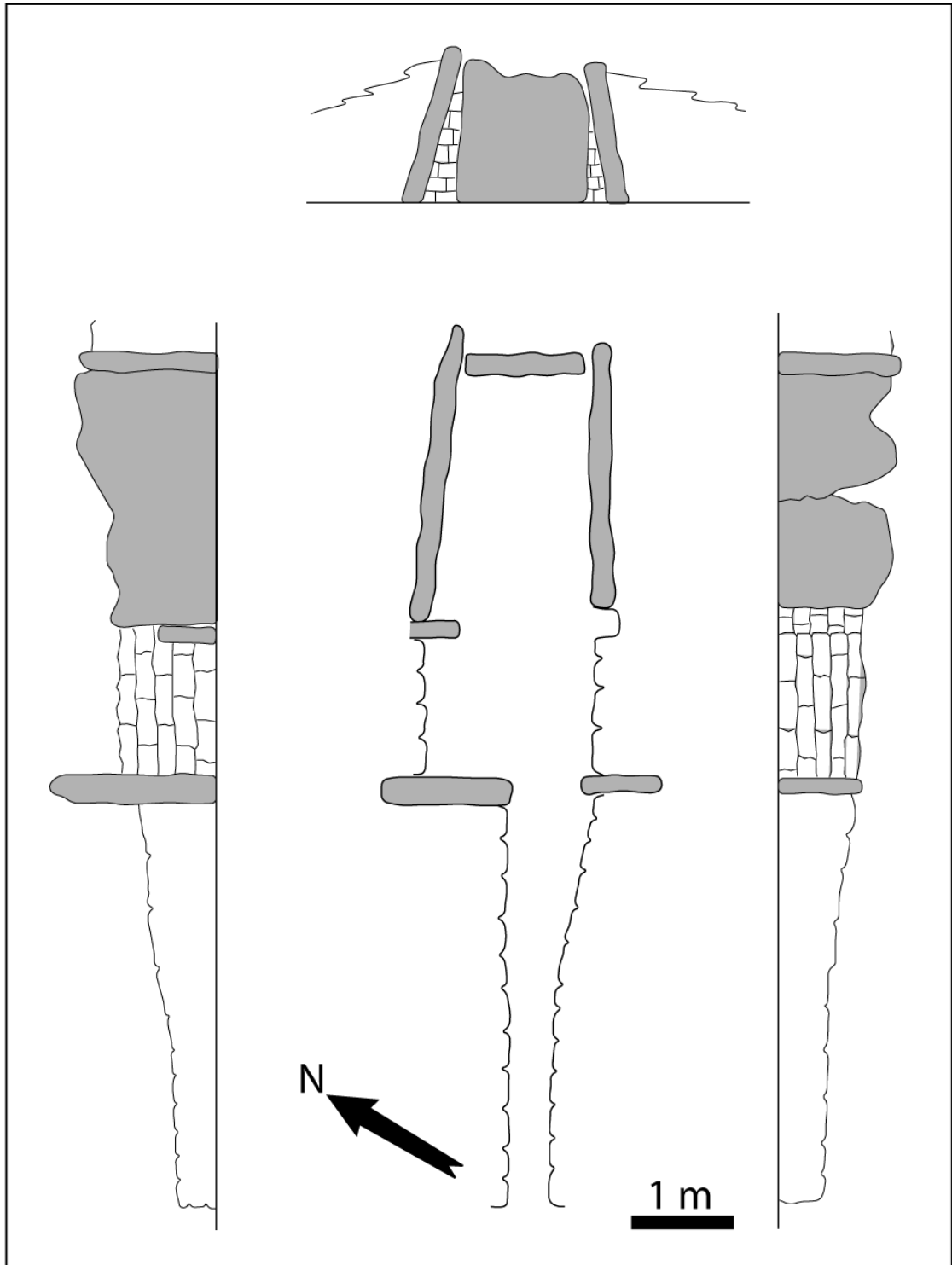


Fig. 35 – Dolmen du Grand Juyan de Roubiac, après restauration; commune de Cazevieille (d'après Requirand).

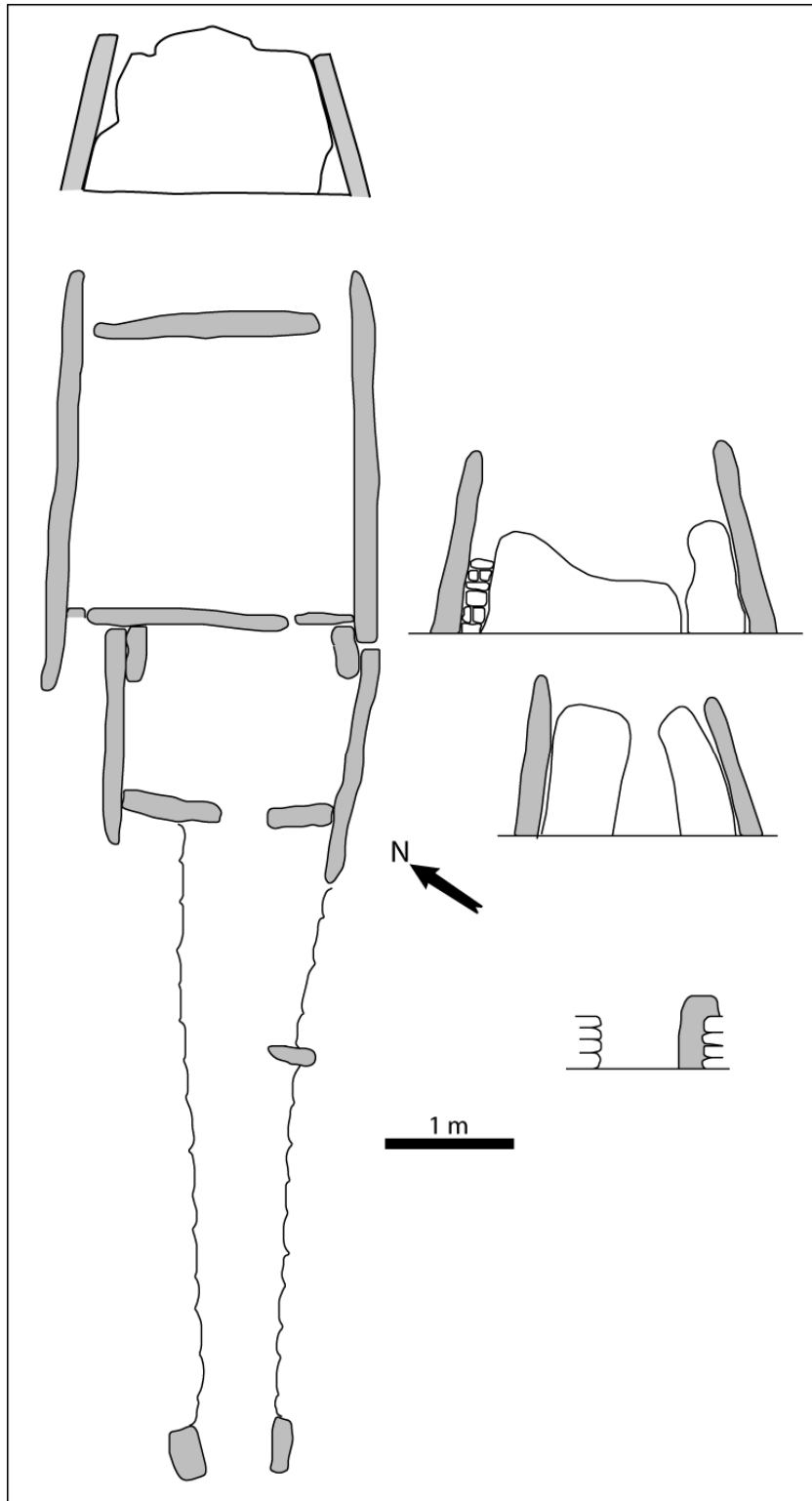


Fig. 36 – Dolmen du Capucin, après restauration; commune de Claret (d'après Requirand).

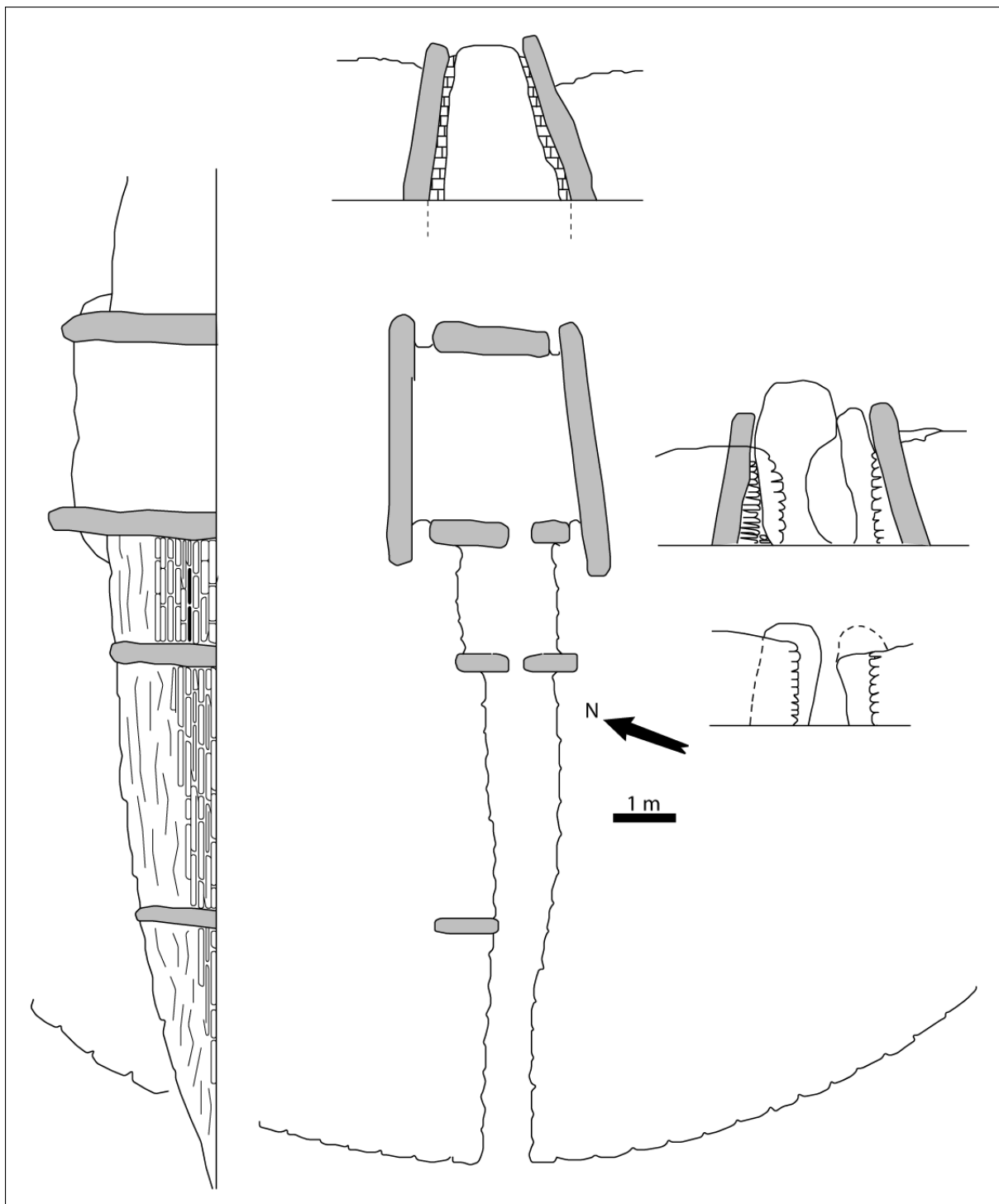


Fig. 37 – Dolmen de Feuilles, après restauration; commune de Rouet (d'après Chevalier 1984).

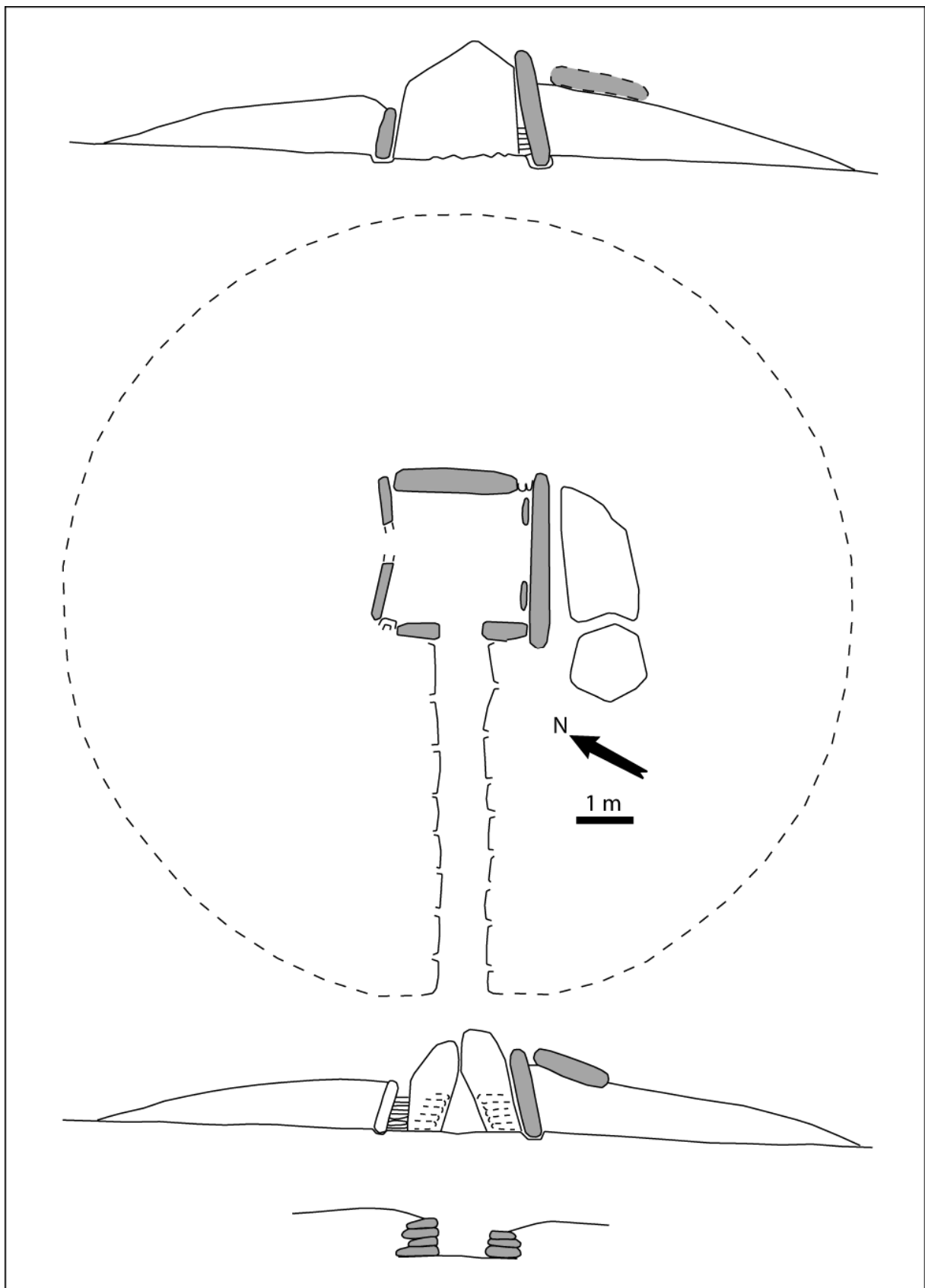


Fig. 38 – Dolmen du Banelle; commune de Saint-Hippolyte-du-Fort (d'après Lorblanchet 1967).

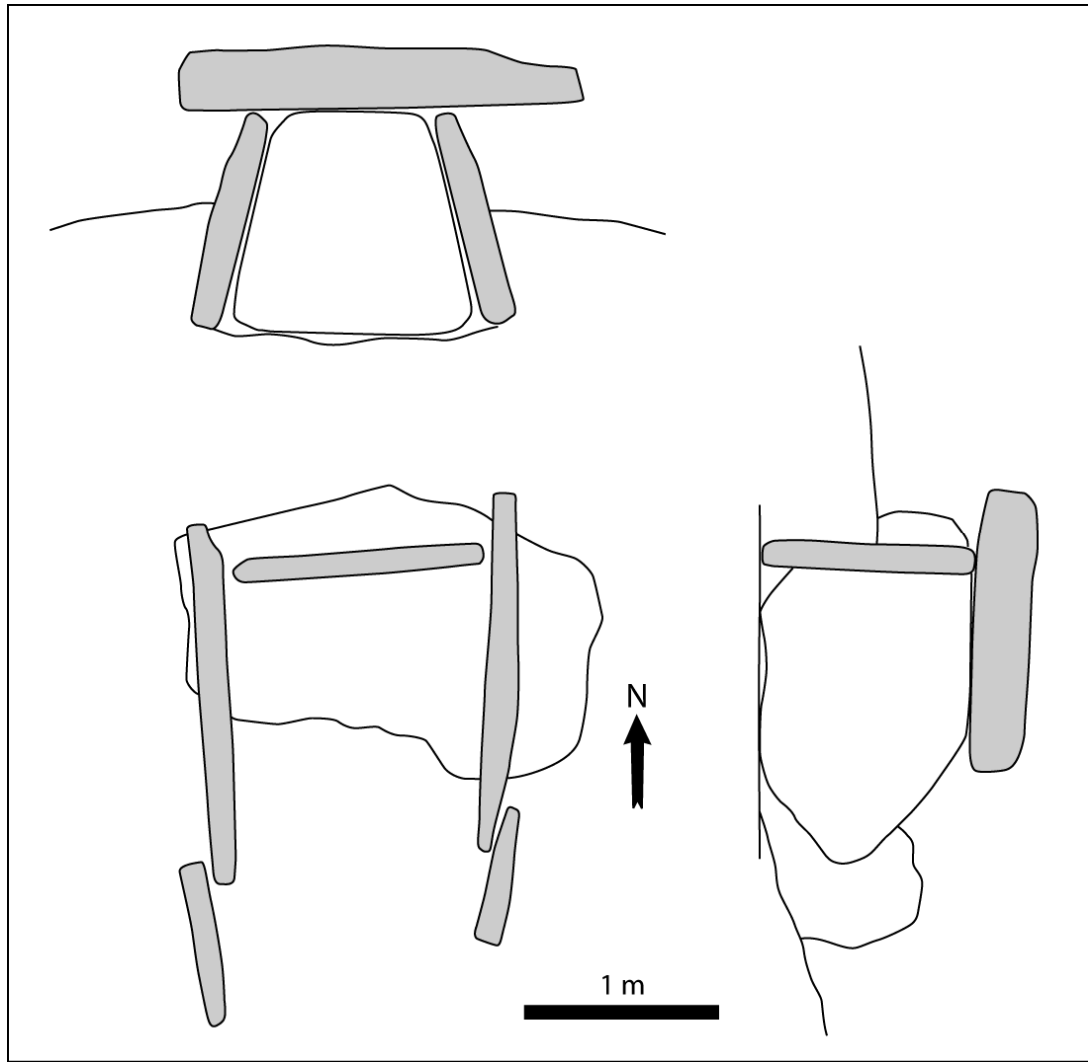


Fig. 39 – Dolmen des Géantes 3; commune de Bourg-Saint-Andéol (d'après Chevalier 1984).

TABLEAUX

TABLEAU 1 : calcul de la surface utile et de la surface à couvrir par dolmen.**La différence entre les deux résultats sera le gain de surface à couvrir**

	surface utile m2	surface à couvrir m2	différence m2	pourcentage de différence
Grandmont 1 (Soumont)	3,38	1,44	1,94	57,40%
Grandmont 2 (Saint-Privas)	3,2	1,46	1,76	54,66%
la Bruyère d'Usclas (Saint-Privas)	2,78	1,35	1,43	51,44%
le Mas de Jourdes 2 (La Vacquerie)	2,33	1,27	1,06	45,49%
Ferrussac 4 (La Vacquerie)	2,93	1,91	1,02	34,81%
la Prunarède 1 (Saint-Maurice-Navacelles)	2,24	1,35	0,89	39,73%
la Prunarède 2 (Saint-Maurice-Navacelles)	2,13	0,83	1,3	61,03%
la Rigoule (Saint-Guilhem-le-Désert)	2,88	0,9	1,98	68,75%
le Mas Alexandre (Saint André de Buèges)	3,06	1,17	1,89	61,76%
Pioch Narras 1 (Saint jean de Buèges)	1,45	0,58	0,87	60,00%
Pioch Narras 2 (Saint Jean de Buèges)	1,82	0,49	1,33	73,08%
le Mas de Tourreau 2 (Saint-Guilhem le Désert)	2,88	0,9	1,98	68,75%
le Moustachou 3 (Causse de la Selle)	1,66	0,6	1,06	63,86%
Lamouroux 1 (Aumelas)	1,67	1,28	0,39	23,35%
le Pouzet (Viols-le-Fort)	2,47	1,51	0,96	38,87%
le Grand Juyan de Roubiac (Cazevieille)	3,96	2,42	1,54	38,89%
Capucin 1 (Claret)	4,4	3,3	1,1	25,00%
Feuilles 1 (Rouet)	6,37	2,6	3,77	59,18%
la Devèze 3 (Barjac)	4,27	2,7	1,57	36,77%
la Devèze 4 (Barjac)	2,3	1,36	0,94	40,87%
la Devèze 5 (Barjac)	1,84	1,12	0,72	39,13%
le Terme des Fades (Laval-Saint-Roman)	3,36	2,14	1,22	36,31%
MOYENNE	2,88	1,49	1,40	48,45%

TABLEAU 2 : calcul de l'inclinaison des parois latérales droite et gauche en degrés, moyenne des deux angles et écart entre les deux parois ; par dolmen.

	delta A en degrés	delta B en degrés	Moyenne des angles	écart en degrés
Grandmont 1 (Soumont)	77	78	77,5	1
Grandmont 2 (Saint-Privas)	82	80	81	2
la Bruyère d'Usclas (Saint-Privas)	67	72	69,5	5
le Mas de Jourdes 2 (La Vacquerie)	73	76	74,5	3
Saint Martin d'Azirou (La Vacquerie)	69	74	71,5	5
le Rancas 1 (Saint-Maurice-Navacelles)	76	70	73	6
la Prunarède 1 (Saint-Maurice-Navacelles)	76	83	79,5	7
la Prunarède 2 (Saint-Maurice-Navacelles)	80	76	78	4
le Suquet (Pégayrolle)	72	78	75	6
la Rigoule (Saint-Guilhem-le-Désert)	84	66	75	18
le Mas Alexandre (Saint André de Buèges)	84	56	70	28
Pioch Narras 1 (Saint jean de Buèges)	82	66	74	16
Pioch Narras 2 (Saint Jean de Buèges)	77	74	75,5	3
les Tières (Saint Guilhem le Désert)	70		70	
le Mas de Tourreau 2 (Saint-Guilhem le Désert)	74		74	
la Métairie de la Croix 2 (Brissac)		69	69	
le Moustachou 3 (Causse de la Selle)	69	77	73	8
Lamouroux 1 (Aumelas)	78	74	76	4
le Pouzet (Viols-le-Fort)	74	76	75	2
le Grand Juyan de Roubiac (Cazevieille)	80	75	77,5	5
Capucin 1 (Claret)	80	84	82	4
Feuilles 1 (Rouet)	72	82	77	10
Banelle (Saint Hippolyte du Fort)	80		80	
la Devèze 3 (Barjac)	71	71	71	0
la Devèze 4 (Barjac)	72	84	78	12
la Devèze 5 (Barjac)	69	76	72,5	7
le Terme des Fades (Laval-Saint-Roman)	80	67	73,5	13
les Géantes 3 (Bourg-Saint-Andéol)	75	76	75,5	1
moyenne	75,7	74,4	74,9	7,1

Tableau 3 : orientation des dolmens du secteur Nord

Commune	Dolmen	Azimut	Direction
Beaulieu	002	110°	E.S.E.
	003	200°	S.S.O.
	004	100°	E.
	005		S.
	007	100°	E.
	008	120°	E.S.E.
	014	270°	O.
	017	90°	E.
	018	100°	E.
	019	120°	E.S.E.
	021	120°	E.S.E.
	023	120°	E.S.E.
	024	120°	E.S.E.
	025	180°	S.
	027	180°	S.
	028	180°	S.
	029	90°	E.
	032	130°	S.E.
	033	210°	S.S.O.
	035	100°	E.
	036	180°	S.
	037	140°	S.E.
	038	110°	E.S.E.
	039		S.
	042		E.
	043	80°	E.
045	100°	E.	
055	190°	S.	
Berrias	002	130°	S.E.
	003	140°	S.E.
	004	110°	E.S.E.
Saint-André-de-Cruzières	001	180°	S.
	002	190°	S.
	003	180°	S.
	006	180°	S.
	007		S.E.
	009	210°	S.S.O.
	010	90°	E.
	011	120°	S.E.
	012	90°	E.
	013	180°	S.
	014	170°	S.
	015	270°	O.
	016	180°	S.
	017	140°	S.E.

Commune	Dolmen	Azimut	Direction
	018	90°	E.
	019	100°	E.
	021	190°	S.
	022	210°	S.S.O.
	023	170°	S.
	024	170°	S.
	025	100°	E.
	026	150°	S.S.E.
	027	180°	S.
	028	200°	S.S.O.
	029	180°	S.
	030	180°	S.
	031	180°	S.
	032	160°	S.S.E.
	033	90°	E.
	034	120°	E.S.E.
	035	100°	E.
	037	60°	E.N.E.
	039	90°	E.
	040	100°	E.
	042	180°	S.
	043	170°	S.
	044	140°	S.E.
	045	90°	E.
	047	180°	S.
	049	110°	E.S.E.
	050	90°	E.
	052	160°	S.S.E.
	053	120°	E.S.E.
	055	100°	E.
	056	180°	S.
	057	110°	E.S.E.
	058	160°	S.S.E.
	059	210°	S.S.O.
	060	130°	S.E.
	061		S.O.
	062	110°	E.S.E.
	063	170°	S.
	064	180°	S.
	065		S.S.O.
	069	190°	S.
	070	190°	S.
Saint-Paul-le-Jeune	001	90°	E.
	002	120°	S.E.
	003	80°	E.
	004	160°	S.S.E.
	006	120°	E.S.E.
	007	230°	S.O.

Commune	Dolmen	Azimut	Direction	
	008	160°	S.S.E.	
	009	120°	S.E.	
	010	70°	E.N.E.	
	012	120°	E.S.E.	
	013	90°	E.	
	014	90°	E.	
	015	150°	S.S.E.	
	016	210°	S.S.O.	
	017		S.	
	019		S.E.	
	020	90°	E.	
	022	110°	E.S.E.	
	023	90°	E.	
	024		S.E.	
	025	120°	E.S.E.	
	027	110°	E.S.E.	
	028	210°	S.S.O.	
	029		E.S.E.	
	031	160°	S.S.E.	
	032	210°	S.S.O.	
	033	210°	S.S.O.	
	034		S.E.	
	035	190°	S.	
	036	70°	E.N.E.	
	037	90°	E.	
	038	180°	S.	
	039	140°	S.E.	
	040	130°	S.E.	
	043		S.	
	045	120°	E.S.E.	
	Saint-Sauveur-de-Cruzières	001	170°	S.
		002	90°	E.
003		90°	E.	
004		180°	S.	
005		200°	S.S.O.	
006		190°	S.	
007		170°	S.	
Courry	003	180°	S.	
	004	100°	E.	
	005	100°	E.	
	007	120°	E.S.E.	
	009	180°	S.	
	010	100°	E.	
	011	90°	E.	
	013	100°	E.	
	014	100°	E.	
	015	160°	S.S.E.	
018	120°	E.S.E.		

Commune	Dolmen	Azimut	Direction
	020	90°	E.
	021	120°	E.S.E.
	023		E.
Saint-Brès	001	160°	S.E.
	002	140°	S.E.
	003	130°	S.E.
	004	90°	E.
	005		S.E.
Barjac	Oeillantes 1	130°	S.E.
	Oeillantes 2	210°	S.S.O.
	Oeillantes 4	160°	S.S.E.
	Oeillantes 4 BIS	180°	S.
	Oeillantes 5		S.
	Serre de la Calade 2	110°	E.S.E.
	Serre de la Calade 3	160°	S.S.E.
	Devèze 1	270°	O.
	Devèze 2	220°	S.O.
	Devèze 3	230°	S.O.
	Devèze 4	210°	S.S.O.
	Devèze 5	170°	S.
Bouquet	Serre Redon		S.O.
Méjannes Le Clap	Bouissas	220°	S.O.
	Carquignau 1	110°	E.S.E.
	Carquignau 2	140°	S.E.
	Carquignau 3	160°	S.S.E.
	Carquignau 4	90°	E.
	les Blaques	220°	S.O.
	Coumoulet	160°	S.S.E.
Rochegude	Piécourt 2		S.O.
	Piécourt 3	270°	O.
	les Charbonniers	240°	O.S.O.
	Le Tonnerre	240°	O.S.O.
	les Biaux	210°	S.S.O.
Seynes	La Citerne	230°	S.O.

**Tableau 4 : orientation des dolmens du secteur Sud
Petits Causses**

Commune	Dolmen	Azimuth	Direction
Aumelas	Lamouroux 2	240°	O.S.O.
	Lamouroux 1	240°	O.S.O.
Cazevieille	Roubiac 2	240°	O.S.O.
	Roubiac Grand-Juyan 1	240°	O.S.O.
	Roubiac 3	250°	O.S.O.
Claret	Pech Arou 2	230°	S.O.
	Capucin 1	240°	O.S.O.
	Le Mas Neuf 3	240°	O.S.O.
	Le Mas Neuf 1	240°	O.S.O.
	Le Mas Neuf 4	250°	O.S.O.
	Capucin 2	280°	O.
	Pech Arou 2	230°	S.O.
	La Limite	250°	O.S.O.
Ferrières les Verreries	Baume	210°	S.S.O.
	Bouisset 1	220°	S.O.
	Bouisset 2	230°	S.O.
	Le Serre de Bouisset	250°	O.S.O.
	Ferrières 1	280°	O.
	Baume	210°	S.S.O.
Frontignan	la Coste	240°	O.S.O.
Juvignac	Puech Rouquier	240°	O.S.O.
Mas de Londres- le Fesq	la Limite 1	230°	S.O.
	la Limite 2	230°	S.O.
Notre Dame de Londres	la Matte 2	210°	S.S.O.
	la Matte 1	230°	S.O.
Rouet	Lamalou	230°	S.O.
	Viala	240°	O.S.O.
	Marviel	240°	O.S.O.
	la Liquisse	240°	O.S.O.
	Bg de l'Hortus	240°	O.S.O.
	Feuilles 3 (inédit)	250°	O.S.O.
	Feuilles 2	260°	O.
	Feuilles 1	260°	O.
	Les Camps	260°	O.
	Juilles (Fuoilles)	280°	O.
	la Bg du Lamalou 1	280°	O.
	Bg du Lamalou 2	240°	O.S.O.
St Martin de Londres	Le Frouzet 1	250°	O.S.O.
Valflaunès	Viaestre	260°	O.
	Viaestre	260°	O.
Argelliers	La Combe du Rat		S.O.
	Argelliers 1		O.S.O.
	Le Mas Andrieu		S.O.
	Le Mas de Courmon		S.O.
	Le lac Rouge		S.O.
	Signal de Puechabon		S.O.

Commune	Dolmen	Azimuth	Direction
Brissac	Métairie de la Croix 2	230°	S.O.
Causse de la Selle	Moustachou 3	230°	S.O.
	Le Lécou		S.S.O.
Puechabon	Montcalmès		S.S.O.
	Le Mas de Pouland 1		S.O.
	Le Mas de Pouland 2		O.S.O.
	Le Mas de Pouland 4		O.S.O.
	La Carrière d'Espinasse		S.O.
Vailhauquès	Mas Reinart 3	190°	S.
Viols-en-Laval	Cambous	280°	O.
Viols-le-Fort	Le Maupas	250°	O.S.O.
	Le Pouzet	240°	O.S.O.
	Soulas	260°	O.
	Le Devois de Rambion	240°	O.S.O.
	La Draille	240°	O.S.O.
	Les Matelettes	250°	O.S.O.

**Tableau 5 : orientation des dolmens du secteur Sud
Causse du Larzac et Lodévois**

Commune	Dolmen	Azimuth	Direction
Cabrières	Le Mougno	250°	O.S.O.
Sallèles du Bosc	Le Pigeonnier	220°	S.O.
St Etienne de Gourgas	la Roque 17	170°	S.
	la Roque 4	190°	S.
	la Roque 3	240°	O.S.O.
St Guiraud	St Guiraud	200°	S.S.O.
St Jean de la Blaquièrre	Les Isserts	240°	O.S.O.
St Pierre de la Fage	St Pierre de la Fage 1	230°	S.O.
	St Pierre de la Fage 2	230°	S.O.
St Privas	Le Bois de Marou	170°	S.
	Pioch Redon 2	210°	S.S.O.
	la Bruyère d'Usclas	190°	S.
	Pioch Redon 3	220°	S.O.
	Pioch Redon 1	270°	O.
St Saturnin	St Saturnin	210°	S.S.O.
Soumont	grandmont 1	210°	S.S.O.
	grandmont 2	210°	S.S.O.
Montpeyroux	Roquecourbe	260°	O.
	Cocalières	180°	S.
	Le Causse de la croix 1		S.S.O.
	La Croix de l'Yeuse 2		S.S.O.
Saint-André-de-Buèges	Le Mas Alexandre	240°	O.S.O.
	La Maline - Serane	240°	O.S.O.
Saint-Jean-de-Buèges	Pioch Narras 1	240°	O.S.O.
	Pioch Narras 2	240°	O.S.O.
Saint-Guilhem-le-Désert	Les Tières	230°	S.O.
	La Rigoule	230°	S.O.
	Le Mas de Tourreau 1	220°	S.O.
	Le Mas de Tourreau 2	220°	S.O.
	Le Mas de Tourreau 3	230°	S.O.
Saint-Maurice-Navacelles	La Prunarède 1	180°	S.
	La Prunarède 2	230°	S.O.
	Le Rancas 1		S.S.O.
	La Bergerie du Coulet	210°	S.S.O.
	Le Bos Gros		O.S.O.
	Le Devézas	220°	S.O.
	Roustidou 1		S.O.
	Roustidou 2		S.O.
	Jasse Nove 1		O.S.O.
	Le Mas de Gay	210°	S.S.O.
	Soulagets 3	160°	S.S.E.
	Soulagets 4	190°	S.
	Le Viala 4	180°	S.
La Vacquerie	Saint Martin d'Azirou		S.O.
	Ferrussac 4	240°	O.S.O.

Commune	Dolmen	Azimuth	Direction
	Ferrussac 5	240°	O.S.O.
	Ferrussac 1	190°	S.
	Le Mas de Figuières 1		S.S.O.
	La Jasse de Canaguier		S.S.O.
	La Vernède		S.
	Le Mas de Jourdes 2	220°	S.O.
	Le Mas de Jourdes 3	220°	S.O.

Tableau 6 : synthèse de l'orientation des dolmens du secteur Nord

	N.B. dolmens	%
N.	0	-
N.N.E.	0	-
N.E.	0	-
E.N.E.	3	1,7
E.	40	22,9
E.S.E.	25	14,3
S.E.	22	12,6
S.S.E.	13	7,4
S.	42	24,0
S.S.O.	15	8,6
S.O.	9	5,1
O.S.O.	2	1,1
O.	4	2,3
O.N.O.	0	-
N.O.	0	-
N.N.O.	0	-
	175	100

	N.B. dolmens	%
0°	0	-
10°	0	-
20°	0	-
30°	0	-
40°	0	-
50°	0	-
60°	1	0,6
70°	2	1,3
80°	2	1,3
90°	21	13,3
100°	15	9,5
110°	10	6,3
120°	17	10,8
130°	6	3,8
140°	7	4,4
150°	2	1,3
160°	12	7,6
170°	8	5,1
180°	22	13,9
190°	7	4,4
200°	3	1,9
210°	11	7,0
220°	3	1,9
230°	3	1,9
240°	2	1,3
250°	0	-
260°	0	-
270°	4	2,5
280°	0	-
290°	0	-
300°	0	-
310°	0	-
320°	0	-
330°	0	-
340°	0	-
350°	0	-
	158	100

Tableau 7 : synthèse de l'orientation des dolmens du secteur Sud

	N.B. dolmens	%
N.	0	-
N.N.E.	0	-
N.E.	0	-
E.N.E.	0	-
E.	0	-
E.S.E.	0	-
S.E.	0	-
S.S.E.	1	0,9
S.	11	9,6
S.S.O.	17	14,9
S.O.	33	28,9
O.S.O.	39	34,2
O.	13	11,4
O.N.O.	0	-
N.O.	0	-
N.N.O.	0	-
	114	100

	N.B. dolmens	%
0°	0	-
10°	0	-
20°	0	-
30°	0	-
40°	0	-
50°	0	-
60°	0	-
70°	0	-
80°	0	-
90°	0	-
100°	0	-
110°	0	-
120°	0	-
130°	0	-
140°	0	-
150°	0	-
160°	1	1,1
170°	2	2,2
180°	3	3,3
190°	5	5,5
200°	1	1,1
210°	9	9,9
220°	8	8,8
230°	15	16,5
240°	25	27,5
250°	9	9,9
260°	7	7,7
270°	1	1,1
280°	5	5,5
290°	0	-
300°	0	-
310°	0	-
320°	0	-
330°	0	-
340°	0	-
350°	0	-
	91	100

Tableau 8 : synthèse de l'orientation des dolmens des petits causses

	N.B. dolmens	%
N.	0	-
N.N.E.	0	-
N.E.	0	-
E.N.E.	0	-
E.	0	-
E.S.E.	0	-
S.E.	0	-
S.S.E.	0	-
S.	1	1,6
S.S.O.	5	8,1
S.O.	17	27,4
O.S.O.	28	45,2
O.	11	17,7
O.N.O.	0	-
N.O.	0	-
N.N.O.	0	-
	62	100

	N.B. dolmens	%
0°	0	-
10°	0	-
20°	0	-
30°	0	-
40°	0	-
50°	0	-
60°	0	-
70°	0	-
80°	0	-
90°	0	-
100°	0	-
110°	0	-
120°	0	-
130°	0	-
140°	0	-
150°	0	-
160°	0	-
170°	0	-
180°	0	-
190°	1	2,0
200°	0	-
210°	3	6,0
220°	1	2,0
230°	9	18,0
240°	17	34,0
250°	8	16,0
260°	6	12,0
270°	0	-
280°	5	10,0
290°	0	-
300°	0	-
310°	0	-
320°	0	-
330°	0	-
340°	0	-
350°	0	-
	50	100

Tableau 9 : synthèse de l'orientation des dolmens des Grands Causses

	N.B. dolmens	%
N.	0	-
N.N.E.	0	-
N.E.	0	-
E.N.E.	0	-
E.	0	-
E.S.E.	0	-
S.E.	0	-
S.S.E.	1	1,9
S.	10	19,2
S.S.O.	12	23,1
S.O.	16	30,8
O.S.O.	11	21,2
O.	2	3,8
O.N.O.	0	-
N.O.	0	-
N.N.O.	0	-
	52	100

	N.B. dolmens	%
0°	0	-
10°	0	-
20°	0	-
30°	0	-
40°	0	-
50°	0	-
60°	0	-
70°	0	-
80°	0	-
90°	0	-
100°	0	-
110°	0	-
120°	0	-
130°	0	-
140°	0	-
150°	0	-
160°	1	2,4
170°	2	4,9
180°	3	7,3
190°	4	9,8
200°	1	2,4
210°	6	14,6
220°	7	17,1
230°	6	14,6
240°	8	19,5
250°	1	2,4
260°	1	2,4
270°	1	2,4
280°	0	-
290°	0	-
300°	0	-
310°	0	-
320°	0	-
330°	0	-
340°	0	-
350°	0	-
	41	100

**TABLEAU 10 : Inventaire des objets de parure retrouvés dans les sépultures du secteur Sud
et tentative pour caler ces objets dans la chronologie du Néolithique final (d'après les travaux d'H. Barge (1982))**

COMMUNE	DOLMEN	CHRONOLOGIE							MOBILIER
		Néolithique Final			Chalcolithique / Age du Bronze				
		Saint-Po.	Les Treil.	Ferr.	Fontb.	Campa.	B. A.	B. M.	
Argelliers	Argelliers 1								1 pendeloque elliptique T3 en calcite blanche translucide
									1 perle discoïde en stéatite
	La Combe du Rat								1 tesson campaniforme
									1 perle discoïde en calcaire
									1 perle ovoïde T2 en cuivre
									12 dentale
	Le Lac Rouge								1 perle discoïde en test
									1 bouton de Durfort en calcaire
	Le Mas Andrieu								1 canine de canidé percée
									1 perle discoïde en stéatite
	Le Mas de Cournon								1 alène losangique bipointe
									1 tesson à décor Saint-Vérédème
Brissac	Roucaurol (niveau inf)								3 perle discoïde en calcaire
									2 perle discoïde en roche verte
									1 perle discoïde en calcaire
									2 perle biconique T2 en calcaire
									12 perle discoïde en calcite ambrée
									2 perle discoïde en cuivre
									4 perle ovoïde T1 en cuivre
									1 incisive de canidé percée
									8 perle discoïde en stéatite
									1 perle ovoïde T2 en stéatite
	Roucaurol (niveau sup.)								12 perle discoïde en callais
									12 perle discoïde en roche verte
									52 perle discoïde en test
									20 perle biconique facétée en stéatite
									4 perle discoïde en roche verte
									72 perle discoïde en test
									16 perle ovoïde T1 en os
									5 perle biconique T1 en os
									1 perle en bobine en os
									57 colombelle
Causse de la Selle	Moustachou 3								10 conus
									8 disque biconvexe à perforation centrale en os
									42 perle discoïde en calcite
									X pendeloque à ailettes en calcaire
									3 pendeloque à pointe T2 en calcite
	Le Lécou								2 pendeloque à pointe T2 en calcite
									2 pendeloque en test
									5 perle discoïde en test
								1 pendeloque en test	
								X perle en test	

COMMUNE	DOLMEN	CHRONOLOGIE						MOBILIER	
		Néolithique Final			Chalcolithique / Age du Bronze				
		Saint-Po.	Les Treil.	Ferr.	Fontb.	Campa.	B. A.		B. M.
Montpeyroux	Le Causse de la Croix 1								1 perle discoïde en calcite
									4 perle ovoïde T2 en lignite
									1 pendeloque à pointe T2 en calcite
									10 perle discoïde en stéatite
									57 perle discoïde en lignite
									1 perle ovoïde T1 en callais
									1 perle biconique T1 en fluorite
Puechabon	Montcalmès								1 palette de schiste polie
									9 perle discoïde en calcaire
									4 perle discoïde en stéatite
									1 canine de suidé percée
	Montcalmès 2								3 perle discoïde en test
									1 épingle à tête enroulée en bronze
									35 perle discoïde en stéatite
	Montcalmès 3								1 perle discoïde en roche verte
									5 perle discoïde en callais
	Le Pioch de la Galine								1 dentale
									3 perle ovoïde T2 en lignite
								1 pendeloque elliptique T2 en os	
Saint-Guilhem-le-D.	La Rigoule								1 perle discoïde en calcite ambrée
									1 perle biconique T2 en plomb
									18 perle discoïde en stéatite
									2 pendeloque à pointe T2 en calcaire
Saint-Maurice-Nav.	la Bergerie du Coulet								1 canine de canidé percée
									6 perle en test
	Bos Gros								X perle discoïde en stéatite
									X perle ovoïde en lignite
									95 perle discoïde en calcaire
									X pendeloque en test
									X cardium percé
	Les Besses								1 anneau en bronze
									X épingle en bronze
	Le Devézas								1 molaire de canidé percée
									1 perle ovoïde T1 en calcite
									1 canine de suidé percée
									1 tesson à décor Ferrières
								1 céritium percé	
								X perle discoïde en roche verte	
								1 canine de canidé percée	
							1 dentale		
							X perle discoïde en test		
							X perle discoïde en os		
							1 palette de schiste polie		

COMMUNE	DOLMEN	CHRONOLOGIE						MOBILIER	
		Néolithique Final			Chalcolithique / Age du Bronze				
		Saint-Po.	Les Treil.	Ferr.	Fontb.	Campa.	B. A.		B. M.
Saint-Maurice-Nav.	Jasse Nove 1							armature de flèche asymétrique	
	La Prunarède 1							1 céritium percé	
								1 dentale	
								X perle discoïde en test	
								1 palette de schiste polie	
	Le Rancas 1							1 armature en bronze	
								1 perle discoïde en calcaire	
								4 pendeloques en griffe en jayet	
								1 perle biconique T1 en lignite	
								1 pendeloque elliptique T3 en calcite ambrée	
							2 pendeloque à coche en os		
							15 perle discoïde en stéatite		
La Vacquerie	Ferrussac 4							1 canine de canidé percée	
								20 humérus de lapin	
								28 perle discoïde en calcaire	
								1 perle ovoïde T2 en jayet	
								1 pendeloque en crochet biforcée T3 en os	
								4 pendeloque à ailettes en calcaire	
								4 perle discoïde en calcite ambrée	
								1 pendeloque à coche en os	
								3 planorbe fossile	
								1 pendeloque en griffe en os	
								2 perle discoïde en cuivre	
								11 canine de canidé percée	
								3 perle cylindrique en roche verte	
								1500 perle discoïde en stéatite	
								1 perle discoïde en test	
								2 pendeloque en test	
								1 alêne losangique bipointe	
								1 bouton perforé en tortue perforé en V en os	
								10 bouton perforé hémisphérique en V en os	
								1 nassa	
						23 colombelle			
						1 conus			
						7 perle ovoïde T1 en os			
						2 perle biconique T1 en os			
						5 perle à gorge en os			
						1 disque biconvexe à perforation centrale en os			

COMMUNE	DOLMEN	CHRONOLOGIE						MOBILIER		
		Néolithique Final			Chalcolithique / Age du Bronze					
		Saint-Po.	Les Treil.	Ferr.	Fontb.	Campa.	B. A.		B. M.	
La Vacquerie	Le Mas de Jourdes 2								2 perle discoïde en calcaire	
									1 pendeloque elliptique T1 en calcaire	
									2 perle cylindrique en calcaire	
									2 pendeloque à ailettes en calcaire	
									1 pendeloque à pointe T2 en calcaire	
									1 canine de canidé percée	
									7 perle discoïde en stéatite	
									7 perle discoïde en test	
									1 dentale	
									1 perle biconique T1 en os	
							1 colombelle			
Vailhauquès	Le Mas Reinart 3								6 perle discoïde en calcaire	
									5 pendeloque à ailettes en calcaire	
									1 perle ovoïde en roche verte	
									1 perle discoïde en calcite ambrée	
									1 canine de canidé percée	
									1 perle ovoïde en calcaire	
									67 perle discoïde en stéatite	
									25 perle discoïde en test	
									1 perle ovoïde T2 en os	
Viols-le-Fort	Le Maupas								1 perle discoïde en calcite	
									3 pendeloque à ailettes en calcaire	
									1 perle ovoïde T2 en callais	
									4 pendeloque à coche en os	
									1 canine de canidé percée	
									1 pendeloque à pointe T1 lisse en os	
									24 pendeloque à pointe T1 striée en os	
									55 perle discoïde en stéatite	
									4 perle discoïde en jayet	
									1 perle ovoïde T1 en calcite ambrée	
								1 perle ovoïde T2 en calcite ambrée		
		Le Pouzet								2 perle ovoïde en calcite
										25 pendeloque à pointe T1 striée en os
										3 pendeloque à ailettes en calcaire
										70 perle discoïde en stéatite
										1 dent de canidé percée
										1 dent de canidé
										1 alène losangique bipointe
									2 perle cylindrique en os	
								4 perle à gorge en os		

COMMUNE	DOLMEN	CHRONOLOGIE						MOBILIER	
		Néolithique Final			Chalcolithique / Age du Bronze				
		Saint-Po.	Les Treil.	Ferr.	Fontb.	Campa.	B. A.		B. M.
Viols-le-Fort	Soulas								6 perle discoïde en calcite
									6 perle cylindrique en calcite
									1 perle biconique T1 en jayet
									3 pendeloques en griffe en jayet
									1 pendeloque objet en jayet
									1 perle à renflement médian en jayet
									2 pendeloque à ailettes en calcaire
									73 pendeloque à coche en os
									17 pendeloque à pointe T2 en calcaire
									18 pendeloque à pointe T1 striée en os
									12 perle ovoïde T2 en roche verte
									7 perle ovoïde T1 en roche verte
									2 perle discoïde en cuivre
									1 perle ovoïde T1 en cuivre
									5 perle ovoïde T2 en cuivre
									1 perle biconique T2 en cuivre
									2 alêne losangique bipointe
									3 canine de canidé percée
									445 perle discoïde en stéatite
									4 perle discoïde en jayet
									1 perle discoïde en callais
									2 perle biconique T2 en roche verte
									1 perle biconique T2 en os
									1 perle à renflement médian en roche verte
		La Draille							1 perle ovoïde T2 en lignite
									1 perle discoïde en calcaire
									1 perle cylindrique en calcite
									4 perle discoïde en stéatite
									1 pendeloque à coche en os
									1 canine de canidé percée
							1 perle cylindrique à rétrécissement médian en calcite		
							2 pendeloque en test		
							3 perle à gorge en os		
							3 perle cylindrique en os		
							2 épingle à tête ovoïde percée en bronze		

**TABLEAU 11 : Les éléments de parures recensés dans les sépultures du secteur Sud;
tentative pour les caler dans la chronologie du Néolithique final proposée par J. Cauliez (2009).**

COMMUNE	DOLMEN	NEO RECENT	PHASE 0	PHASE 1	PHASE 2	PHASE 3	Bronze Ancien
		3700 -3400 av J.C.	3400-2900 av. J.C.	2900-2550 av. J.C.	2600-2350 av J.C.	2400-1900 av. J.C.	
Argelliers	Argelliers 1		pendeloque elliptique				
	La Combe du Rat		perle en cuivre				
				bouton de Durfort			perle en test
	Le Lac Rouge	dent de canidé percée					
Le Mas Andrieu			alène bipointe				
Brissac	Roucaÿrol	dent de canidé percée					
		perle en cuivre				perle en test, perle en os	
						colombelle, conus	
						disque à perf. centrale	
Causse de la selle	Moustachou 3		pendeloque à ailette, pendeloque à pointe			pendeloque en test, perle en test	
	Le Lécou				pendeloque en test, perle en test		
Montpeyroux	Causse de la Croix 1		pendeloque à pointe			palette de schiste	
Puechabon	Montcalmès	dent de suidé percée				perle en test	
							épingle en bronze
	Le Pioch de la Galine	pendeloque elliptique, perle en plomb					
Saint Guilhem le Désert	La Rigoule	dent de canidé percée					
			pendeloque à pointe			perle en test	

COMMUNE	DOLMEN	NEO RECENT 3700 -3400 av J.C.	PHASE 0 3400-2900 av. J.C.	PHASE 1 2900-2550 av. J.C.	PHASE 2 2600-2350 av J.C.	PHASE 3 2400-1900 av. J.C.	Bronze Ancien
Saint Maurice Navacelles	Bos Gros				pendeloque en test		épingle en bronze
	Les Besses	dent de canidé percée, dent de suidé percée					
	Le Devézas	dent de canidé percée				perle en test, perle en os, palette de schiste	
	La Prunarède 1				perle en test, palette de schiste		
	Le Rancas 1	dent de canidé percée			pendeloque en griffe en jayet, pendeloque elliptique, pendeloque à coche		
La Vacquerie	Ferrussac 4	humerus de lapin perforé, dent de canidé percée			pendeloque en crochet biforée, pendeloque à ailette, pendeloque à coche, perle en cuivre		
				planorbe fossile, pendeloque griffe en os			
				alène bipointe	bouton perforé en V en os		
					perle en test, pendeloque en test, perle en os		
					colombelle, conus, nassa		disque à perf. Centrale
	Le Mas de Jourdes 2	dent de canidé percée			pendeloque elliptique, pendeloque à ailette, pendeloque à pointe		
					perle en test, perle en os		colombelle
Vailhauquès	Le Mas Reinart 3	dent de canidé percée			pendeloque à ailette		
					perle en test, perle en os		

COMMUNE	DOLMEN	NEO RECENT 3700 -3400 av J.C.	PHASE 0 3400-2900 av. J.C.	PHASE 1 2900-2550 av. J.C.	PHASE 2 2600-2350 av J.C.	PHASE 3 2400-1900 av. J.C.	Bronze Ancien	
Viols le Fort	Le Maupas	dent de canidé percée						
			pendeloque à ailette, pendeloque à coche, pendeloque à pointe					
	Le Pouzet	dent de canidé percée						
			pendeloque à pointe, pendeloque à ailette					
				alêne bipointe				
	Soulas	pendeloque objet en jayet, dent de canidé percée					perle en os	
			perle en jayet, pendeloque en griffe en jayet, pendeloque à ailette, pendeloque à coche, pendeloque à pointe, perle en cuivre					
				alêne bipointe				
						perle en os		
	La Draille	dent de canidé percée						
			pendeloque à coche					
						pendeloque en test, perle en os		épingle en bronze

**TABLEAU 12 : Les armatures de flèches recensées dans les sépultures du secteur Sud;
tentative pour les caler dans la chronologie du Néolithique final proposée par J. Cauliez (2009).**

COMMUNE	DOLMEN	NEO RECENT	PHASE 0	PHASE 1	PHASE 2	PHASE 3	Bronze Ancien
		3700 -3400 av J.C.	3400-2900 av. J.C.	2900-2550 av. J.C.	2600-2350 av J.C.	2400-1900 av. J.C.	
Argelliers	La Combe du Rat		armature foliacée et losangique				
	Le Lac Rouge		armature foliacée				
	Le Mas de Courmon		armature foliacée				
Brissac	Roucaayrol (niveau sup.)		armature losangique			armature à pédoncule et ailerons dégagés	
Le Cros	buissières 2	armature déjetée					
Montpeyroux	Le Causse de la Croix 1		armature losangique				
Notre Dame de Londre	ricome 4	armature déjetée					
Puechabon	Montcalmès		armature losangique				
	Montcalmès 2		armature foliacée				
	Le Pioch de la Galine		armature losangique				
Saint Jean de Buèges	puech narras 2		armature losangique			armature à pédoncule et ailerons peu dégagés	
Saint Jean de la Blaquière	les isserts				armature à pédoncule et ailerons peu dégagés		
Saint Guilhem le désert	La Rigoule		armature foliacée et losangique				
Saint maurice Navacelles	Le Devézas		armature foliacée et losangique				
	Jasse Nove 1	armature déjetée					
	jasse nove 2		armature foliacée				
	La Prunarède 1						armature en bronze
Saint Pierre de la Fage	la roque 9	armature déjetée					
Saint Privat	bruyere d'usclas 1		armature foliacée				
					armature à pédoncule et ailerons peu dégagés		

		NEO RECENT	PHASE 0	PHASE 1	PHASE 2	PHASE 3	Bronze Ancien
COMMUNE	DOLMEN	3700 -3400 av J.C.	3400-2900 av. J.C.	2900-2550 av. J.C.	2600-2350 av J.C.	2400-1900 av. J.C.	
La Vaquerie	Ferrussac 4		armature losangique				
	mas de figuière 2				armature à pédoncule et ailerons peu dégagés		
	Le Mas de Jourdes 2		armature foliacée			armature à pédoncule et ailerons peu dégagés	
Vailhauquès	Le Mas Reinart 3				armature à pédoncule et ailerons		
			armature losangique				
Viols le Fort	Le Pouzet		armature foliacée et losangique				
	Soulas		armature foliacée				
	La Draille				armature à pédoncule et ailerons peu dégagés		
			armature foliacée et losangique				